

第4章 连续时间信号的频域表示与分析

4.1 周期信号的频谱分析——傅里叶级数

4.2 常用周期信号的频谱

4.3 非周期信号的频谱分析——傅里叶变换

4.4 典型非周期信号的频谱

4.5 傅里叶变换的基本性质

4.6 周期信号的傅里叶变换

4.7 用MATLAB对连续时间系统的时域分析

第4章 连续时间信号的频域表示与分析

信号的特征之一具有变化和不变化两部分，其中不变部分在时间域中表现为不随时间变化的常数，也称直流信号或直流分量；而变化部分表现为随时间呈现各种变化，这些变化中一般蕴含着事物发展变化的规律。

18世纪末19世纪初法国的数学家和物理学家 Fourier，在对热的传导问题进行研究时，提出并采用了Fourier级数理论，开创了信号表示历史的新纪元。

从本章起，我们对信号的分析由时域分析进入频域分析，即傅里叶变换（频域）分析。在频域分析中。

5.1 周期信号的频谱分析——傅里叶级数

任何周期函数在满足狄里赫利的条件下，可以展开成正交函数线性组合的无穷级数。

如果正交函数集是**三角函数集**或**复指数函数集**，此时周期函数所展成的级数就是“**傅里叶级数**”。前者称为三角形式的傅里叶级数，后者称为指数形式的傅里叶级数，它们是傅里叶级数两种不同的表示形式。

4.1 周期信号的频谱分析——傅里叶级数

任何周期函数在满足狄里赫利的条件下，可以展开成正交函数线性组合的无穷级数。

如果正交函数集是三角函数集或复指数函数集，此时周期函数所展成的级数就是“傅里叶级数”。前者称为三角形式的傅里叶级数，后者称为指数形式的傅里叶级数，它们是傅里叶级数两种不同的表示形式。

正交函数： 设两个函数 $x(t)$ 和 $y(t)$ ，其定义域都为 (t_1, t_2) ，且满足

$$\int_{t_1}^{t_2} x(t)y(t)dt = 0$$

$$\text{但 } \int_{t_1}^{t_2} x^2(t)dt \neq 0 \quad \text{且} \quad \int_{t_1}^{t_2} y^2(t)dt \neq 0$$

则称函数 $x(t)$ 和 $y(t)$ 为正交函数。

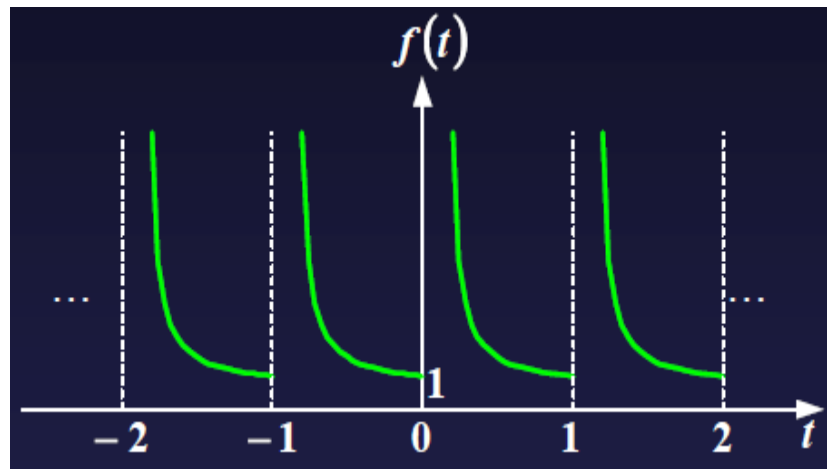
4.1 周期信号的频谱分析——傅里叶级数

狄利赫利（Dirichlet）条件

1. 在一周期内，信号绝对可积；

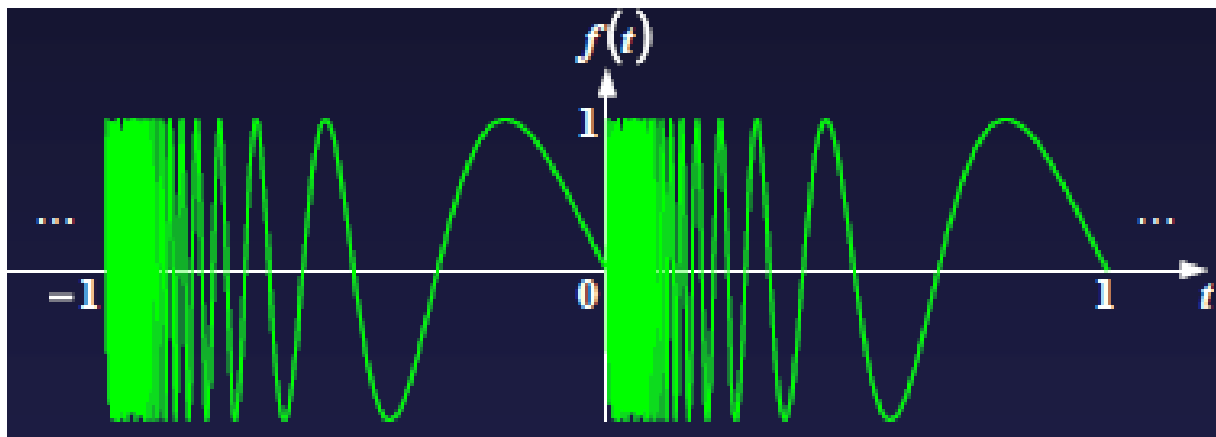
$$f(t) = \frac{1}{t}, (0 < t < 1), \text{周期为 } 1.$$

不满足此条件。



2. 在一周期内，极大值和极小值的数目应是有限个

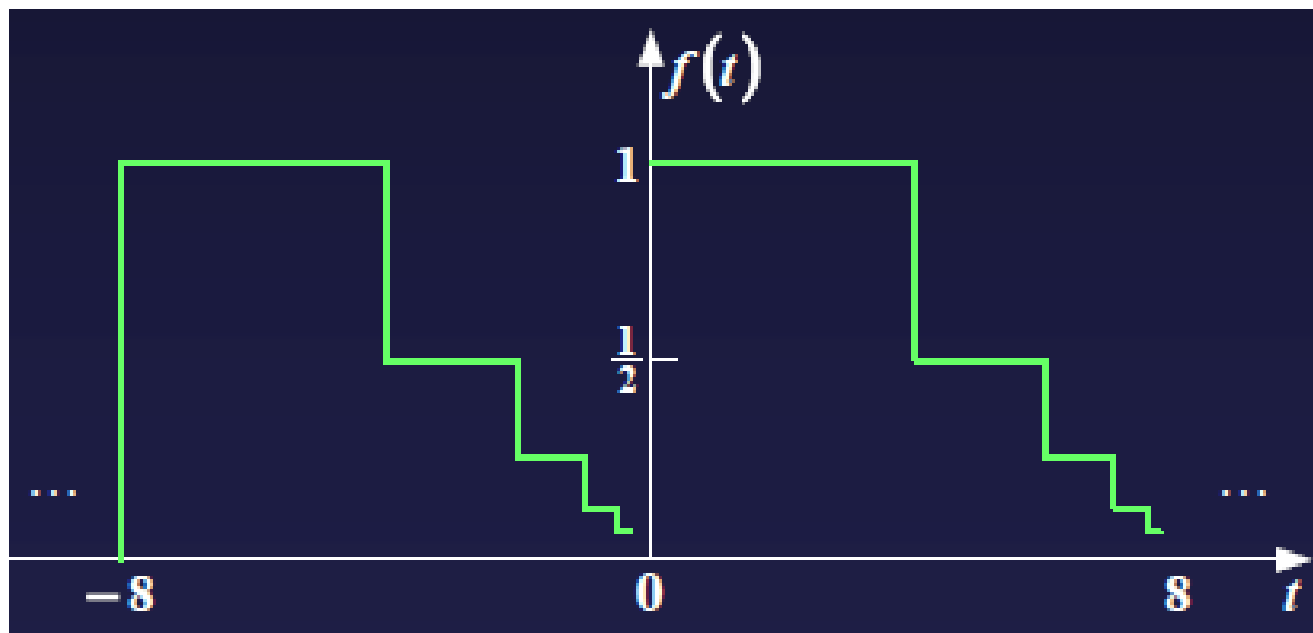
$$f(t) = \sin\left(\frac{2\pi}{t}\right), (0 < t < 1), \text{周期为 } 1.$$



满足条件1，
而不满足条件2

4.1 周期信号的频谱分析——傅里叶级数

3. 在一周期内，如果有间断点存在，则间断点的数目应是有限个。



不满足条件3，这个信号的周期为8，它的后一个阶梯的高度和宽度是前一个阶梯的一半。可见在一个周期内它的面积不会超过8，但不连续点的数目是无穷多个。

4.1.1 三角形式的傅里叶级数

设周期信号为 $\tilde{f}(t)$, 其重复周期是 T_1 , 角频率 $\Omega_1 = 2\pi f_1 = \frac{2\pi}{T_1}$

$$\tilde{f}(t) = a_0 + \sum_{n=1}^{\infty} (a_n \cos n\Omega_1 t + b_n \sin n\Omega_1 t) \quad (4.1-1)$$

直流分量: $a_0 = \frac{1}{T_1} \int_{t_0}^{t_0+T_1} \tilde{f}(t) dt$

余弦分量的幅度: $a_n = \frac{2}{T_1} \int_{t_0}^{t_0+T_1} \tilde{f}(t) \cos n\Omega_1 t dt$

正弦分量的幅度: $b_n = \frac{2}{T_1} \int_{t_0}^{t_0+T_1} \tilde{f}(t) \sin n\Omega_1 t dt$

以上各式中的积分限一般取: $0 \sim T_1$ 或 $-\frac{T_1}{2} \sim \frac{T_1}{2}$

4.1.1 三角形式的傅里叶级数

三角形式的傅里叶级数也可表示成：

$$\tilde{f}(t) = c_0 + \sum_{n=1}^{\infty} c_n \cos(n\Omega_1 t + \varphi_n) \quad (4.1-3)$$

其中

$$c_n^2 = a_n^2 + b_n^2 \quad \varphi_n = \arctan\left(-\frac{b_n}{a_n}\right) \quad c_0 = a_0$$

根据欧拉公式：

$$\begin{aligned} \tilde{f}(t) &= c_0 + \sum_{n=1}^{\infty} \frac{c_n}{2} \left\{ e^{j(n\Omega_1 t + \varphi_n)} + e^{-j(n\Omega_1 t + \varphi_n)} \right\} \\ &= c_0 + \frac{1}{2} \sum_{n=1}^{\infty} \left\{ c_n e^{j\varphi_n} e^{jn\Omega_1 t} + c_n e^{-j\varphi_n} e^{-jn\Omega_1 t} \right\} = \sum_{n=-\infty}^{\infty} F_n e^{jn\Omega_1 t} \end{aligned}$$

其中

$$F_0 = c_0 \quad F_{\pm n} = \frac{c_n}{2} e^{\pm j\varphi_n}, n = 1, 2, \dots,$$

4.1.2 指数形式的傅里叶级数

$$\tilde{f}(t) = \sum_{n=-\infty}^{\infty} F_n e^{jn\Omega_1 t} \quad (4.1-5)$$

其中 $F_n = \frac{1}{T_1} \int_{t_0}^{t_0+T_1} \tilde{f}(t) e^{-jn\Omega_1 t} dt$ ----- 复振幅

$$F_0 = a_0 = c_0$$

$$F_n = |F_n| e^{j\varphi_n} = \frac{1}{2} (a_n - jb_n)$$

$$|F_n| = \frac{1}{2} \sqrt{a_n^2 + b_n^2} = \frac{1}{2} |c_n| \quad \varphi_n = \arctan\left(-\frac{b_n}{a_n}\right)$$

$|F_n|$ 为 $n\Omega_1$ 的偶函数, φ_n 为 $n\Omega_1$ 的奇函数

4.1.3 周期信号的频谱及其特点

1. 周期信号的频谱

$$f(t) = a_0 + \sum_{n=1}^{\infty} (a_n \cos n\Omega_1 t + b_n \sin n\Omega_1 t) \quad (4.1-1)$$

$$f(t) = c_0 + \sum_{n=1}^{\infty} c_n \cos(n\Omega_1 t + \varphi_n) \quad (4.1-3)$$

$$f(t) = \sum_{n=-\infty}^{\infty} F_n e^{jn\Omega_1 t} \quad (4.1-5)$$

为了能既方便又明确地表示一个信号中含有哪些频率分量，各频率分量所占的比重怎样，就可以画出频谱图来直观地表示。

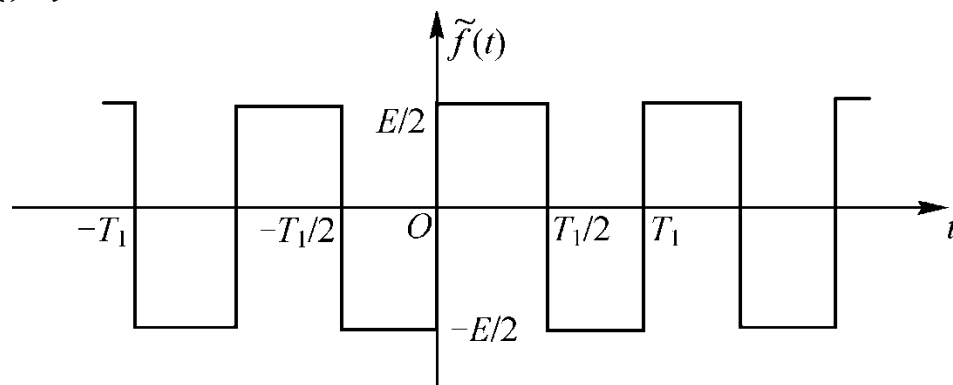
如果以频率为横轴，以幅度或相位为纵轴，绘出 c_n 及 φ_n 等的变化关系，便可直观地看出各频率分量的相对大小和相位情况，这样的图就称为三角形形式表示的信号的**幅度频谱**和**相位频谱**。

4.1.3 周期信号的频谱及其特点

例4.1-1 求题图所示的周期矩形信号的三角形式与指数形式的傅里叶级数，并画出各自的频谱图。

解：一个周期内 $\tilde{f}(t)$ 的表达式为：

$$\tilde{f}(t) = \begin{cases} \frac{E}{2} & 0 < t < \frac{T_1}{2} \\ -\frac{E}{2} & \frac{T_1}{2} < t < T_1 \end{cases}$$



$$a_0 = \frac{1}{T_1} \int_0^{T_1} \tilde{f}(t) dt = 0 \quad a_n = \frac{2}{T_1} \int_0^{T_1} \tilde{f}(t) \cos n\Omega_1 t dt = 0$$

$$b_n = \frac{2}{T_1} \int_0^{T_1} \tilde{f}(t) \sin n\Omega_1 t dt = \begin{cases} \frac{2E}{n\pi} & n = 1, 3, 5 \dots \\ 0 & n = 2, 4, 6 \dots \end{cases}$$

4.1.3 周期信号的频谱及其特点

$$c_n = b_n = \begin{cases} \frac{2E}{n\pi} & n = 1, 3, 5 \dots \\ 0 & n = 2, 4, 6 \dots \end{cases}$$

$$\varphi_n = \arctan\left(-\frac{b_n}{a_n}\right) = -\frac{\pi}{2} \quad (n = 1, 3, 5 \dots)$$

因此

$$\begin{aligned} \tilde{f}(t) &= \frac{2E}{\pi} \sum_{n=1,3,5\dots}^{\infty} \frac{1}{n} \sin n\Omega_1 t \\ &= \frac{2E}{\pi} \left(\sin \Omega_1 t + \frac{1}{3} \sin 3\Omega_1 t + \frac{1}{5} \sin 5\Omega_1 t + \dots \right) \end{aligned}$$

或

$$\tilde{f}(t) = \frac{2E}{\pi} \sum_{n=1,3,5\dots}^{\infty} \frac{1}{n} \cos\left(n\Omega_1 t - \frac{\pi}{2}\right)$$

4.1.3 周期信号的频谱及其特点

$$F_n = \frac{1}{2}(a_n - jb_n) = -j\frac{b_n}{2} = \begin{cases} -\frac{jE}{n\pi} & n = \pm 1, \pm 3, \pm 5 \dots \\ 0 & n = \pm 2, \pm 4, \pm 6 \dots \end{cases}$$

$$\tilde{f}(t) = -\frac{jE}{\pi}e^{j\Omega_1 t} - \frac{jE}{3\pi}e^{j3\Omega_1 t} - \dots + \frac{jE}{\pi}e^{-j\Omega_1 t} + \frac{jE}{3\pi}e^{-j3\Omega_1 t} + \dots$$

$$|F_n| = \left| \frac{E}{n\pi} \right| \quad (n = \pm 1, \pm 3, \pm 5 \dots)$$

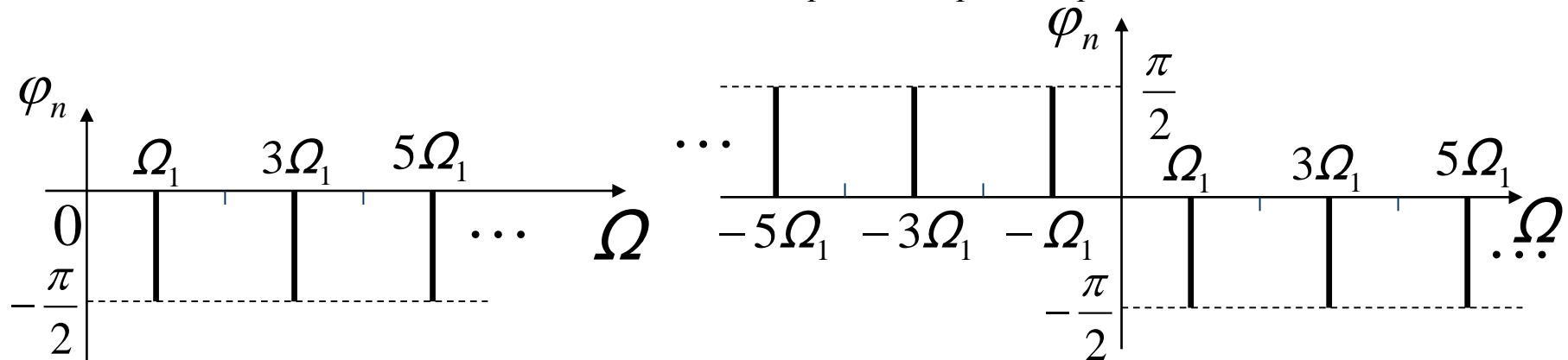
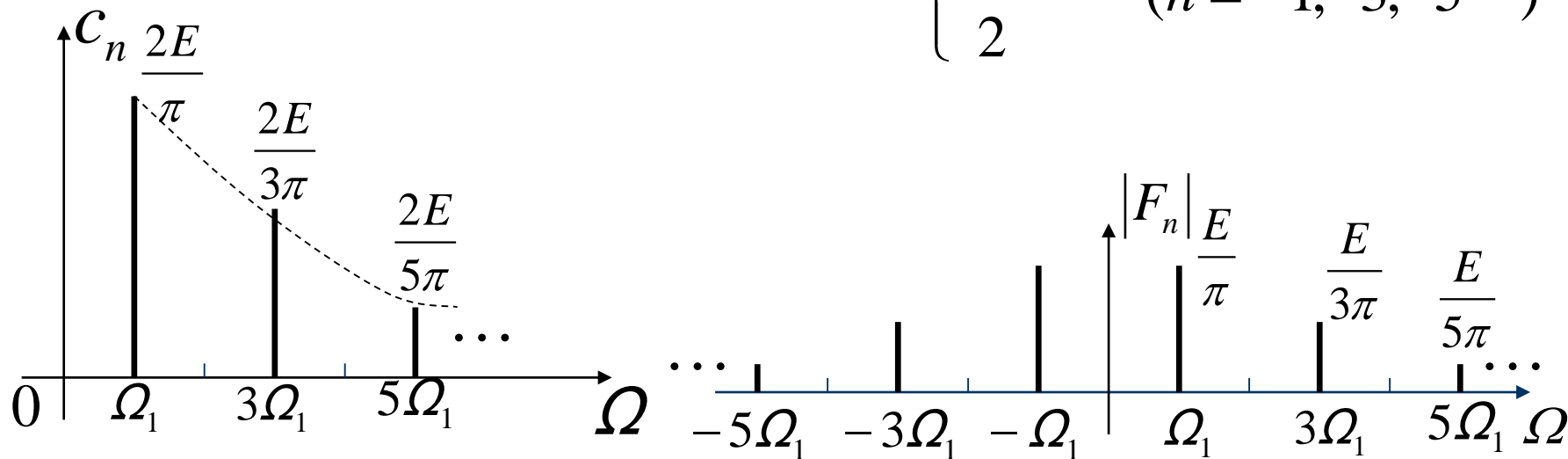
$$\varphi_n = \begin{cases} -\frac{\pi}{2} & (n = 1, 3, 5 \dots) \\ \frac{\pi}{2} & (n = -1, -3, -5 \dots) \end{cases}$$

$$c_n = \begin{cases} \frac{2E}{n\pi} & n = 1, 3, 5 \dots \\ 0 & n = 2, 4, 6 \dots \end{cases}$$

$$\varphi_n = -\frac{\pi}{2} \quad (n = 1, 3, 5 \dots)$$

$$|F_n| = \left| \frac{E}{n\pi} \right| \quad (n = \pm 1, \pm 3, \pm 5 \dots)$$

$$\varphi_n = \begin{cases} -\frac{\pi}{2} & (n = 1, 3, 5 \dots) \\ \frac{\pi}{2} & (n = -1, -3, -5 \dots) \end{cases}$$



4.1.3 周期信号的频谱及其特点

2. 周期信号频谱的特点

一个周期信号是由直流分量、不同幅度和相位的基波分量和各次谐波的交流分量叠加而成的，这些直流和交流分量构成了周期信号的频谱，它们具有下述特点：

- (1) 离散性 ----- 频谱是离散的而不是连续的，这种频谱称为离散频谱。
- (2) 谐波性 ----- 谱线出现在基波频率 Ω_1 的整数倍上。
- (3) 收敛性 ----- 幅度谱的谱线幅度随着 $n \rightarrow \infty$ 而逐渐衰减到零。

4.1.4 波形的对称性与谐波特性的关系

已知信号 $\tilde{f}(t)$ 展为傅里叶级数的时候，如果 $\tilde{f}(t)$ 是实函数而且它的波形满足某种对称性，则在傅里叶级数中有些项将不出现，留下的各项系数的表示式也将变得比较简单。波形的对称性有两类，一类是对整周期对称；另一类是对半周期对称。

(1) 偶函数 $\tilde{f}(t) = \tilde{f}(-t)$

$$b_n = \frac{2}{T_1} \int_{-\frac{T_1}{2}}^{\frac{T_1}{2}} \tilde{f}(t) \sin n\Omega_1 t dt = 0$$

$$a_0 = \frac{1}{T_1} \int_{-\frac{T_1}{2}}^{\frac{T_1}{2}} f(t) dt = \frac{2}{T_1} \int_0^{\frac{T_1}{2}} f(t) dt$$

$$a_n = \frac{2}{T_1} \int_{-\frac{T_1}{2}}^{\frac{T_1}{2}} f(t) \cos n\Omega_1 t dt = \frac{4}{T_1} \int_0^{\frac{T_1}{2}} f(t) \cos n\Omega_1 t dt$$

所以，在偶函数的傅里叶级数中只含有（直流）和余弦分量。

4.1.4 波形的对称性与谐波特性的关系

(2) 奇函数 $\tilde{f}(t) = -\tilde{f}(-t)$

$$a_0 = \frac{1}{T_1} \int_{-\frac{T_1}{2}}^{\frac{T_1}{2}} \tilde{f}(t) dt = 0$$

$$a_n = \frac{2}{T_1} \int_{-\frac{T_1}{2}}^{\frac{T_1}{2}} \tilde{f}(t) \cos n\Omega_1 t dt = 0$$

$$b_n = \frac{2}{T_1} \int_{-\frac{T_1}{2}}^{\frac{T_1}{2}} \tilde{f}(t) \sin n\Omega_1 t dt = \frac{4}{T_1} \int_0^{\frac{T_1}{2}} \tilde{f}(t) \sin n\Omega_1 t dt$$

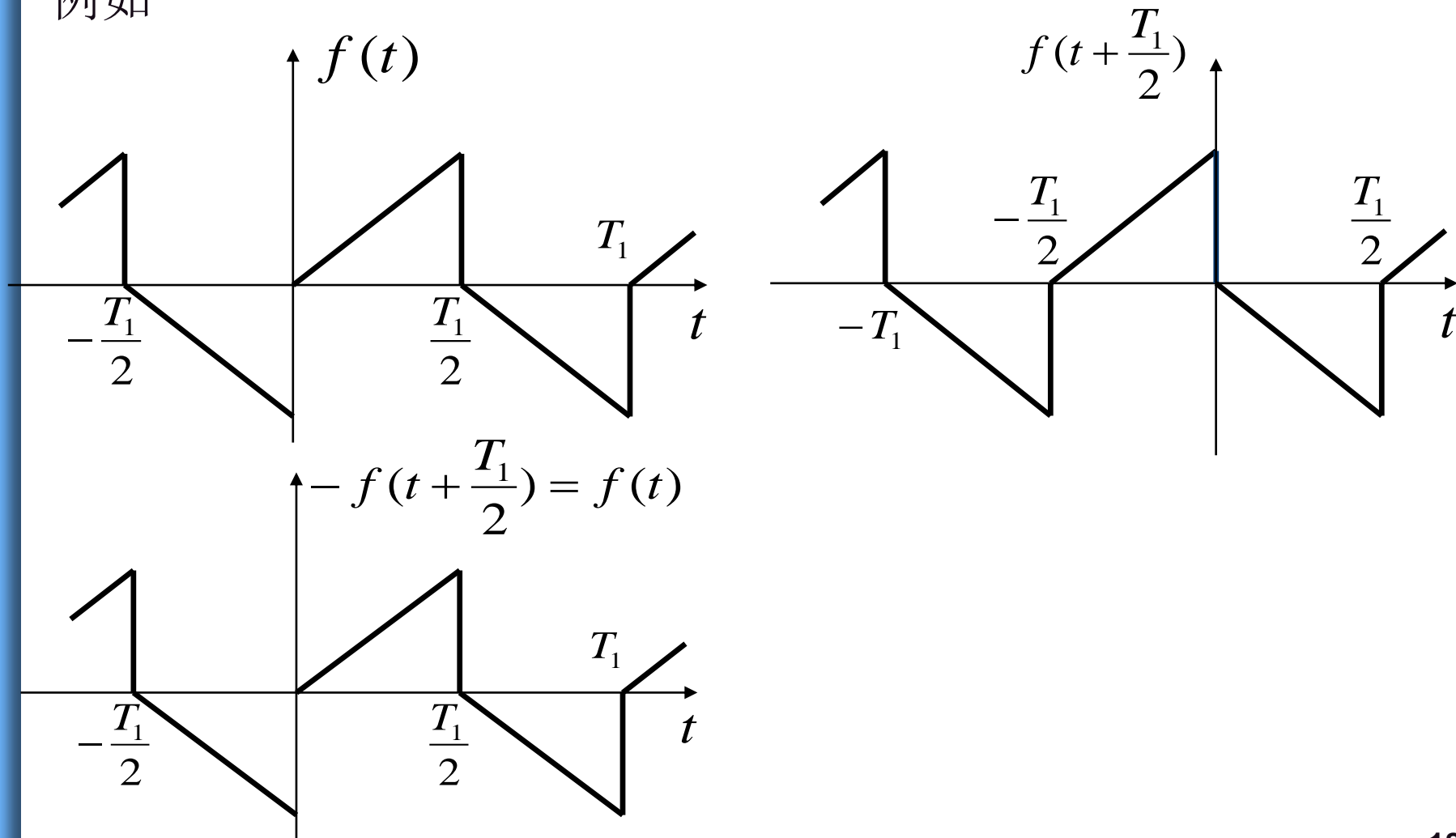
所以，在奇函数的傅里叶级数中只包含**正弦分量**。

4.1.4 波形的对称性与谐波特性的关系

(3) 奇谐函数

$$-\tilde{f}(t \pm \frac{T_1}{2}) = \tilde{f}(t)$$

例如



4.1.4 波形的对称性与谐波特性的关系

$$a_0 = 0$$

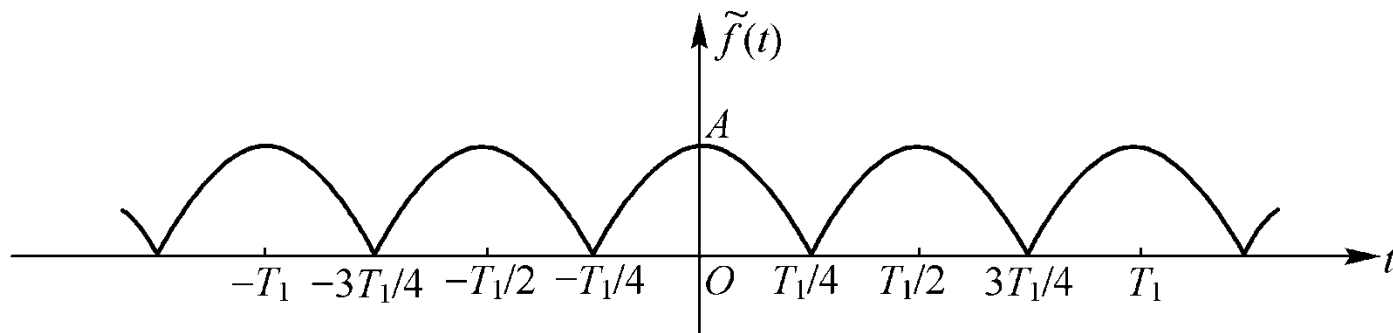
$$a_n = \begin{cases} 0 & (n = 2, 4, 6 \cdots) \\ \frac{4}{T_1} \int_0^{\frac{T_1}{2}} \tilde{f}(t) \cos n\Omega_1 t dt & (n = 1, 3, 5 \cdots) \end{cases}$$

$$b_n = \begin{cases} 0 & (n = 2, 4, 6 \cdots) \\ \frac{4}{T_1} \int_0^{\frac{T_1}{2}} \tilde{f}(t) \sin n\Omega_1 t dt & (n = 1, 3, 5 \cdots) \end{cases}$$

可见，在奇谐函数的傅里叶级数中，只会含有奇次谐波分量。

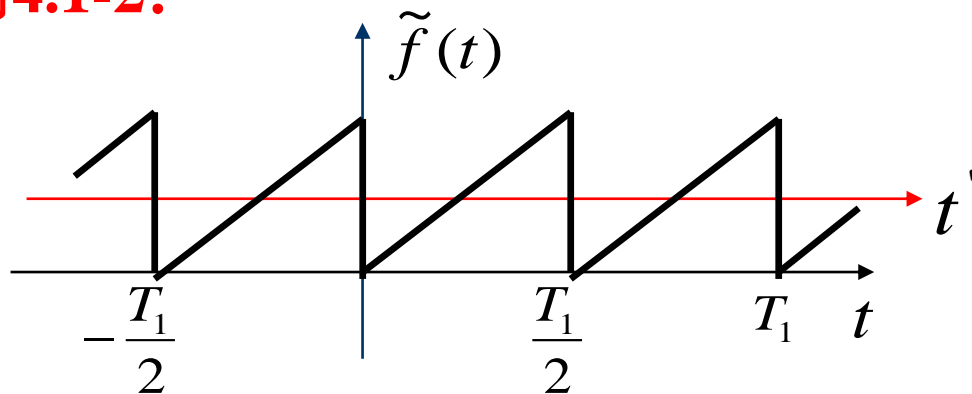
4.1.4 波形的对称性与谐波特性的关系

(4) 偶谐函数 $\tilde{f}(t \pm \frac{T_1}{2}) = \tilde{f}(t)$



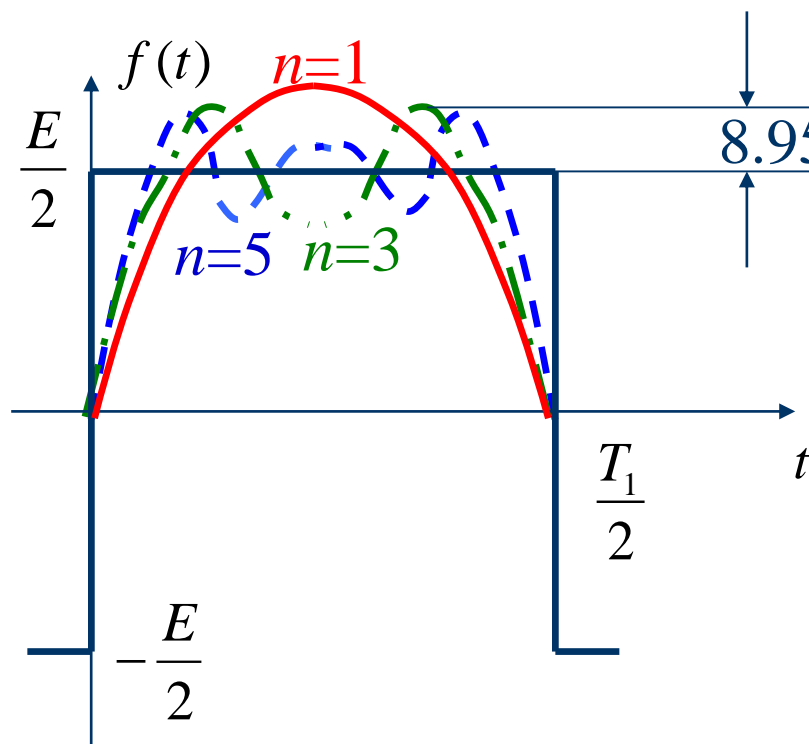
在偶谐函数的傅里叶级数中，只会含有（直流）与偶次谐波分量。

例4.1-2:



$\tilde{f}(t)$ 为偶谐函数，且去掉直流分量 $1/2$ 后为奇函数，所以 $\tilde{f}(t)$ 的傅里叶级数中包含直流分量和偶次谐波的正弦分量。

4.1.5 吉伯斯 (Gibbs) 现象



$$n=1: f(t) \approx \frac{2E}{\pi} \sin \Omega_1 t$$

$n=3$:

$$f(t) \approx \frac{2E}{\pi} \left(\sin \Omega_1 t + \frac{1}{3} \sin 3\Omega_1 t \right)$$

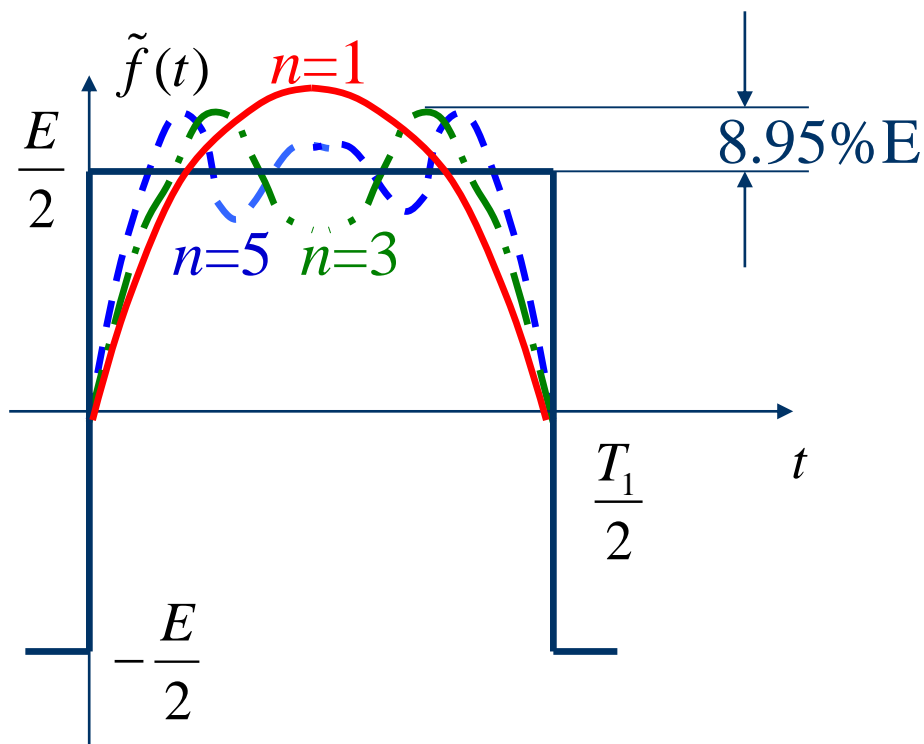
$n=5$:

$$f(t) \approx \frac{2E}{\pi} \left(\sin \Omega_1 t + \frac{1}{3} \sin 3\Omega_1 t + \frac{1}{5} \sin 5\Omega_1 t \right)$$

$$f(t) = \frac{2E}{\pi} \left(\sin \Omega_1 t + \frac{1}{3} \sin 3\Omega_1 t + \frac{1}{5} \sin 5\Omega_1 t + \dots \right)$$

Show

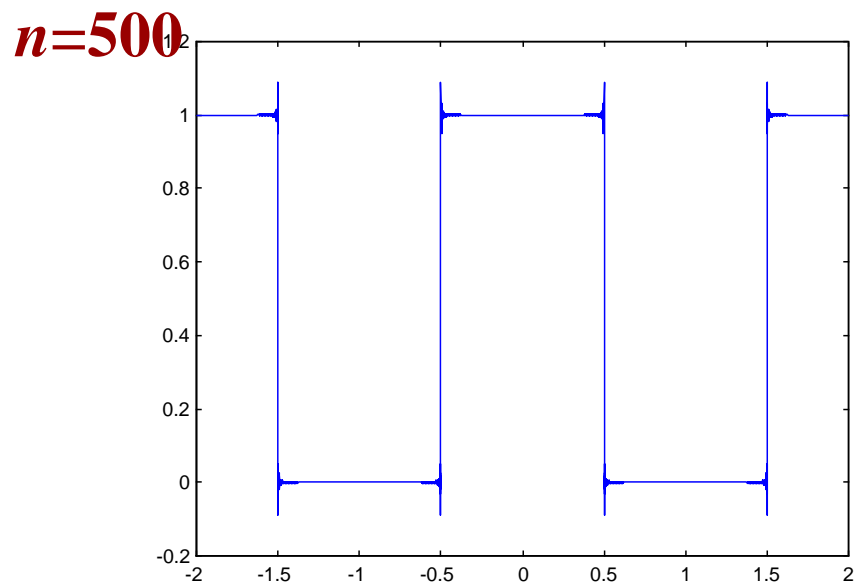
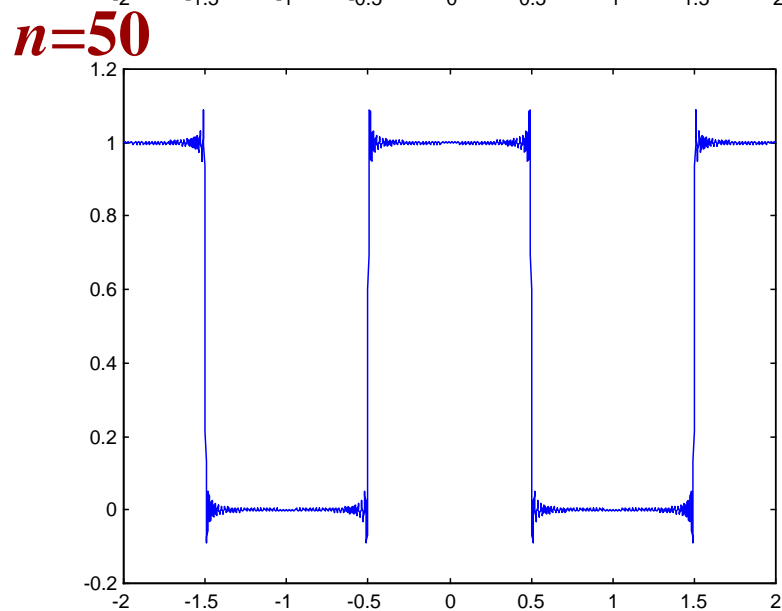
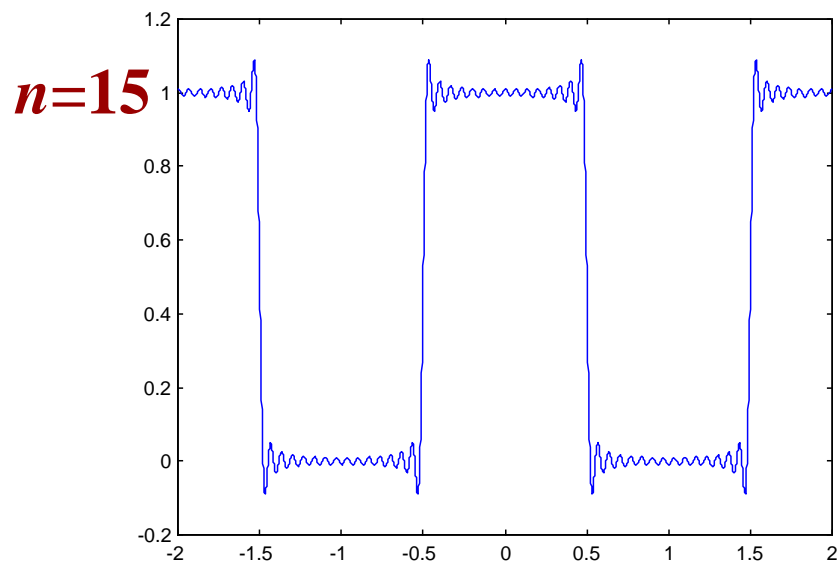
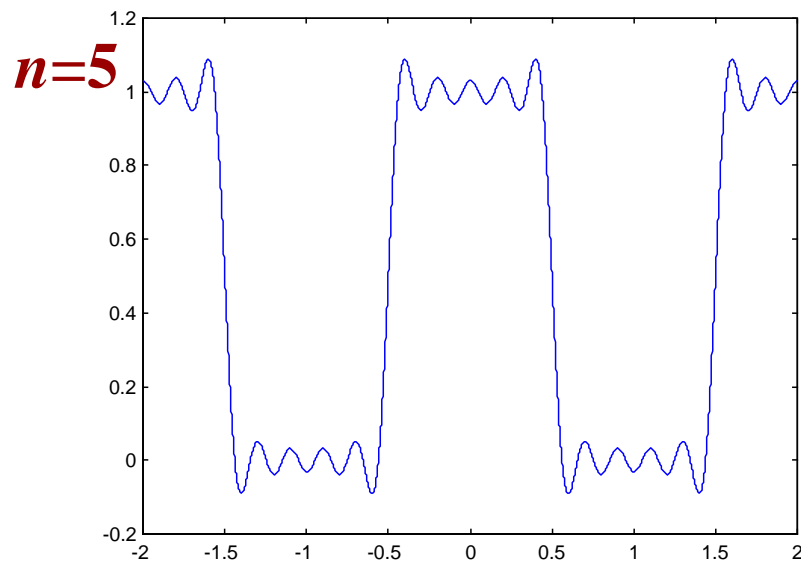
4.1.5 吉伯斯 (Gibbs) 现象



从左图可以看出：
① 傅里叶级数所取项数越多，相加后的波形越逼近原信号。
② 当信号是脉冲信号时，其高频分量主要影响脉冲的跳变沿，而低频分量主要影响脉冲的幅度。

从上图还可以看出如下现象：选取傅里叶有限级数的项数越多，在所合成的波形中出现的峰值越靠近 $\tilde{f}(t)$ 的不连续点。但无论 n 取的多大（只要不是无限大），该峰值均趋于一个常数，它大约等于跳变值的 **8.95%**，并从不连续点开始以起伏振荡的形式逐渐衰减下去。这种现象称为**吉伯斯现象**。

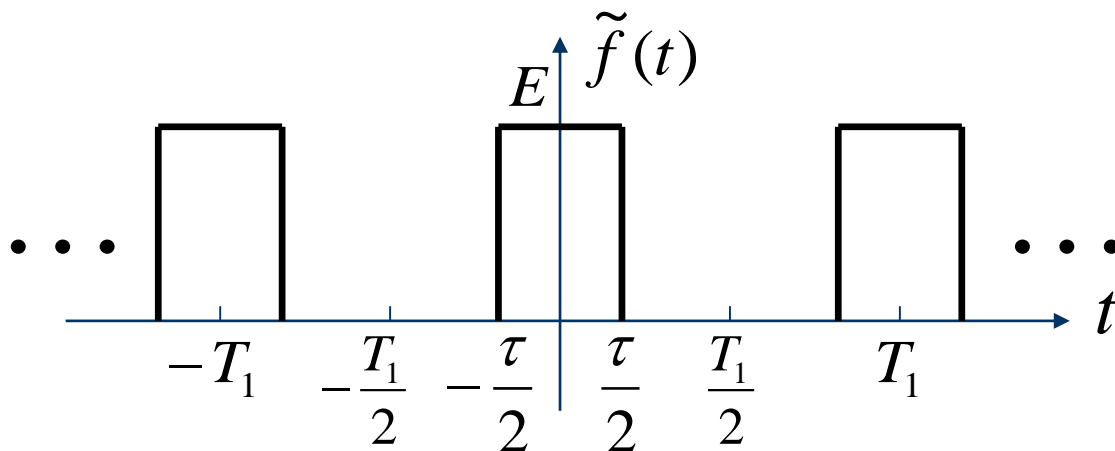
4.1.5 吉伯斯 (Gibbs) 现象



4.2 常用周期信号的频谱

4.2.1 周期矩形脉冲信号

(1) 周期矩形脉冲信号的傅里叶级数



$$b_n = 0$$

$$a_0 = \frac{2}{T_1} \int_0^{\frac{T_1}{2}} \tilde{f}(t) dt = \frac{2}{T_1} \int_0^{\frac{\tau}{2}} E dt = \frac{E\tau}{T_1}$$

$$a_n = \frac{4}{T_1} \int_0^{\frac{T_1}{2}} \tilde{f}(t) \cos n\Omega_1 t dt = \frac{4}{T_1} \int_0^{\frac{\tau}{2}} E \cos n\Omega_1 t dt = \frac{2E\tau}{T_1} \text{Sa}\left(\frac{n\Omega_1\tau}{2}\right) = c_n$$

4.2.1 周期矩形脉冲信号

所以，三角形形式傅里叶级数为

$$\tilde{f}(t) = \frac{E\tau}{T_1} + \frac{2E\tau}{T_1} \sum_{n=1}^{\infty} \text{Sa}\left(\frac{n\Omega_1\tau}{2}\right) \cos n\Omega_1 t \quad (4.2-4)$$

因为 $F_n = \frac{1}{2}(a_n - jb_n) = \frac{1}{2}a_n = \frac{E\tau}{T_1} \text{Sa}\left(\frac{n\Omega_1\tau}{2}\right)$

所以，指数形式的傅里叶级数为

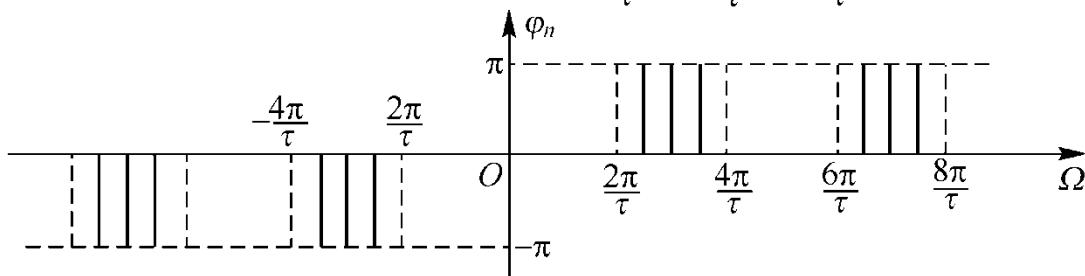
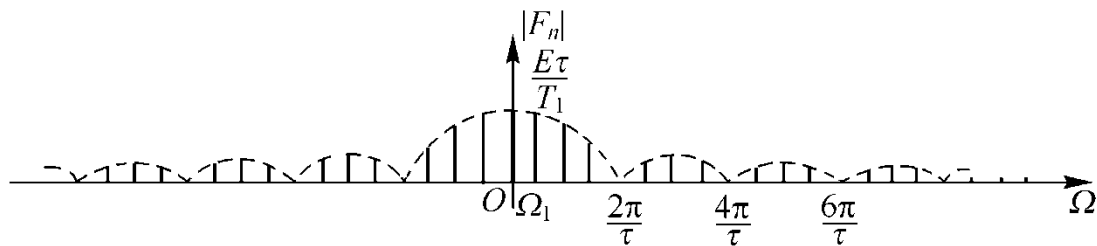
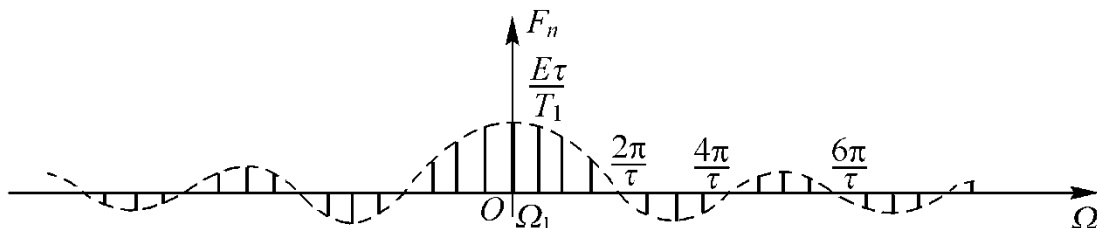
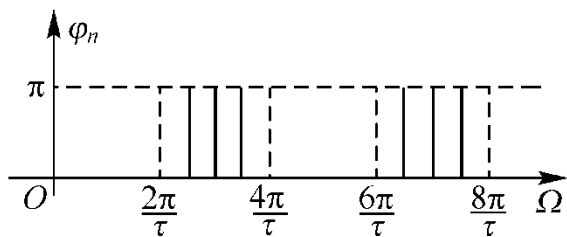
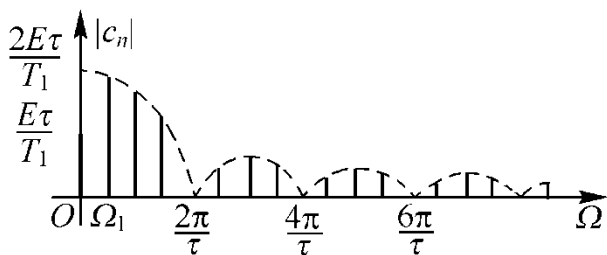
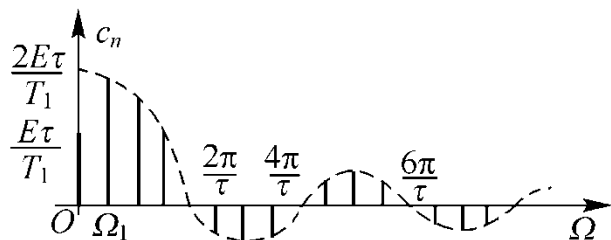
$$\tilde{f}(t) = \frac{E\tau}{T_1} \sum_{n=-\infty}^{\infty} \text{Sa}\left(\frac{n\Omega_1\tau}{2}\right) e^{jn\Omega_1 t} \quad (4.2-6)$$

4.2.1 周期矩形脉冲信号

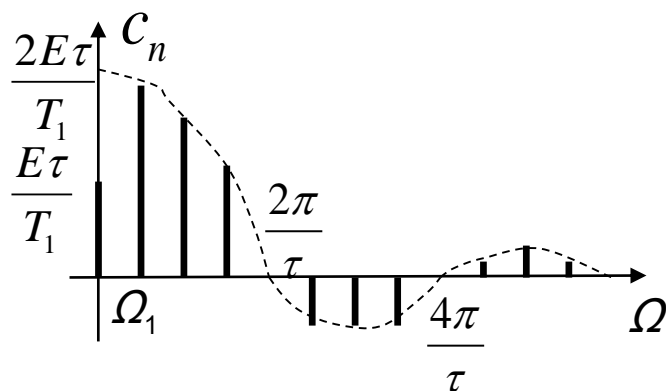
(2) 频谱图

$$c_n = \frac{2E\tau}{T_1} \text{Sa}\left(\frac{n\Omega_1\tau}{2}\right)$$

$$F_n = \frac{E\tau}{T_1} \text{Sa}\left(\frac{n\Omega_1\tau}{2}\right)$$



4.2.1 周期矩形脉冲信号



若 $\frac{\tau}{T_1} = \frac{1}{4}$

则 $\Omega_1 = \frac{2\pi}{T_1} = \frac{2\pi}{4\tau} = \frac{1}{4} \left(\frac{2\pi}{\tau} \right)$

因此，第一个零值点之内或两个相邻的零值点之间有**3**根谱线。

一般情况： 若 $\frac{\tau}{T_1} = \frac{1}{n}$ 则

第一个零值点之内或两个相邻的零值点之间有 **$n-1$** 根谱线。

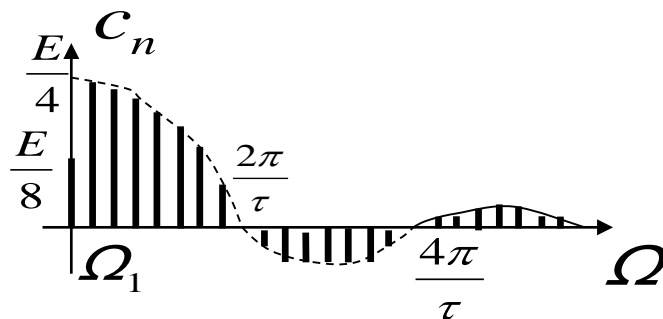
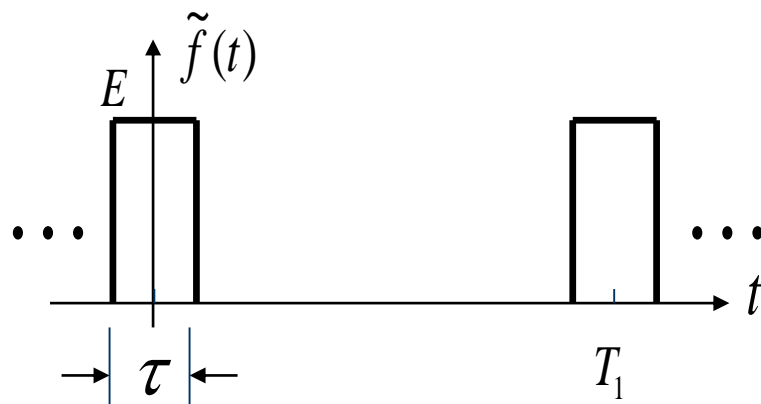
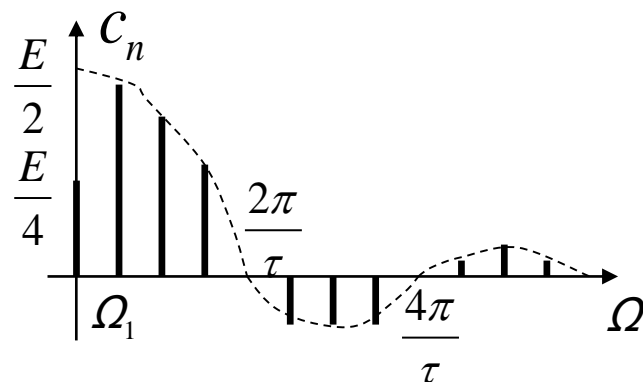
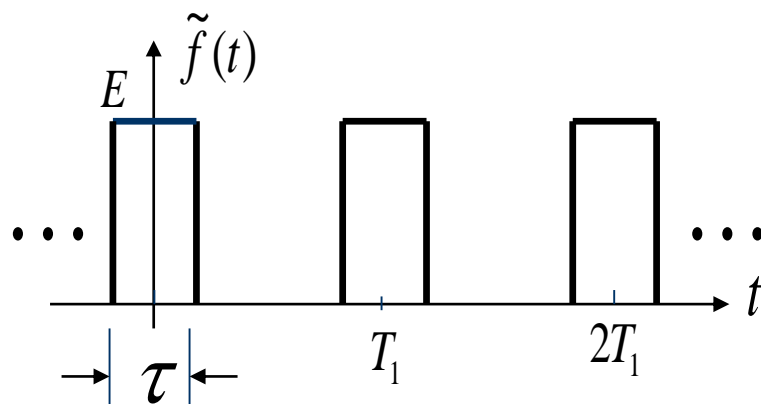
频带宽度： $B_\Omega = \frac{2\pi}{\tau}$ 或 $B_f = \frac{1}{\tau}$

结论： 矩形脉冲的频带宽度与脉冲宽度成反比。

4.2.1 周期矩形脉冲信号

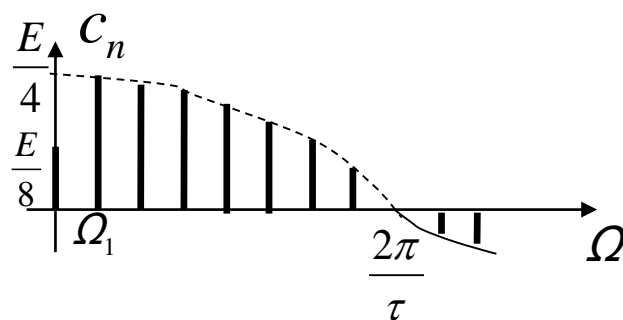
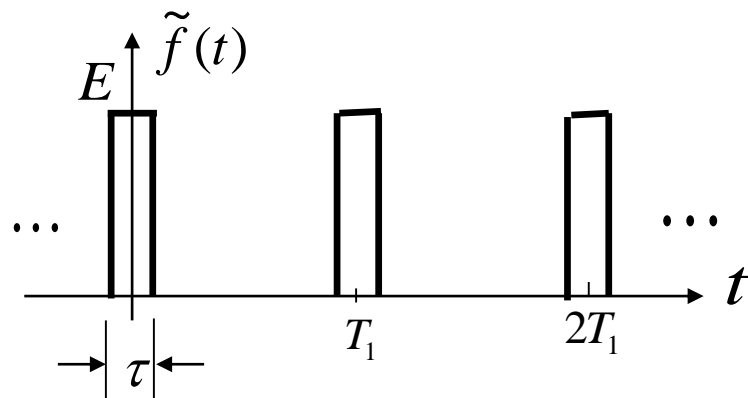
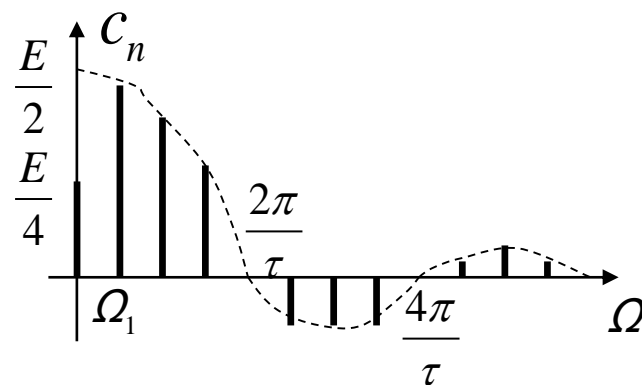
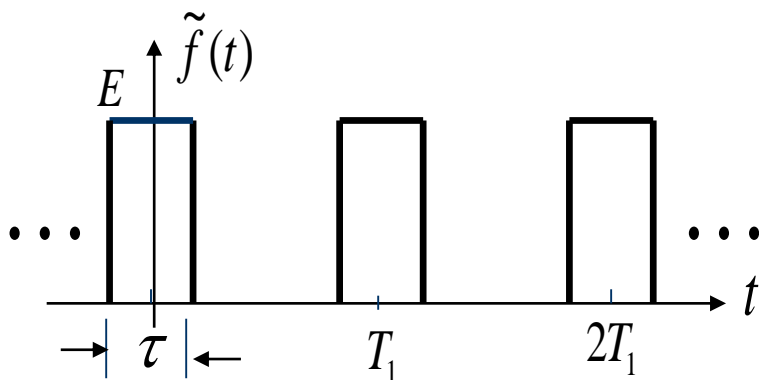
(3) 频谱结构与波形参数之间的关系

1. 若 τ 不变, T_1 扩大一倍, 即 $T_1 = 4\tau \rightarrow T_1 = 8\tau$



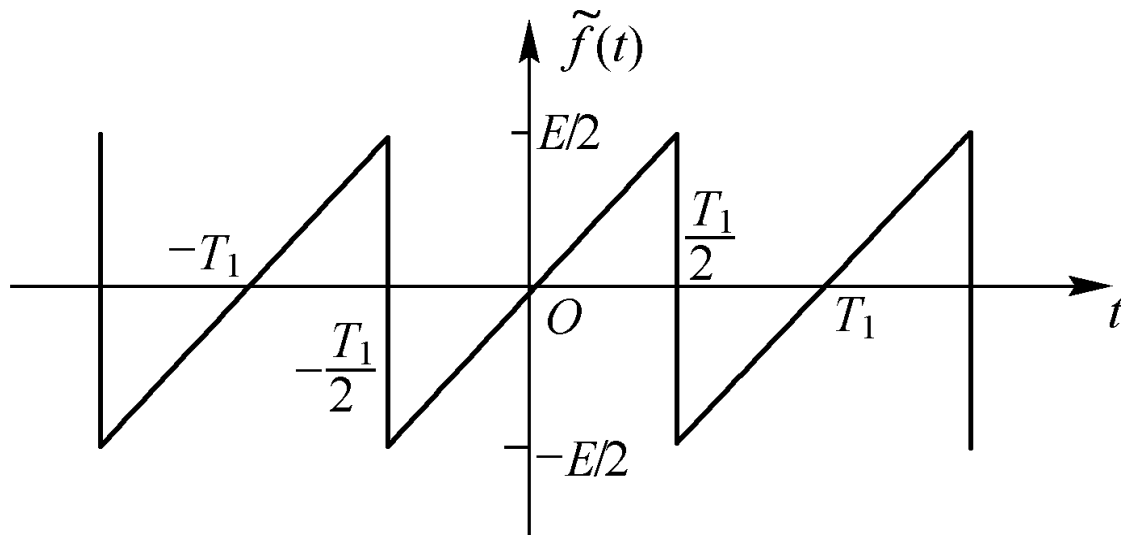
4.2.1 周期矩形脉冲信号

2. 若 T_1 不变, τ 减小一半, 即 $T_1 = 4\tau \rightarrow T_1 = 8\tau$



谱线间隔 $\Omega_1 (= 2\pi/T_1)$ 只与周期 T_1 有关, 且与 T_1 成反比; 零值点频率 $2\pi/\tau$ 只与 τ 有关, 且与 τ 成反比; 而谱线幅度与 T_1 和 τ 都有关系, 且与 T_1 成反比与 τ 成正比。

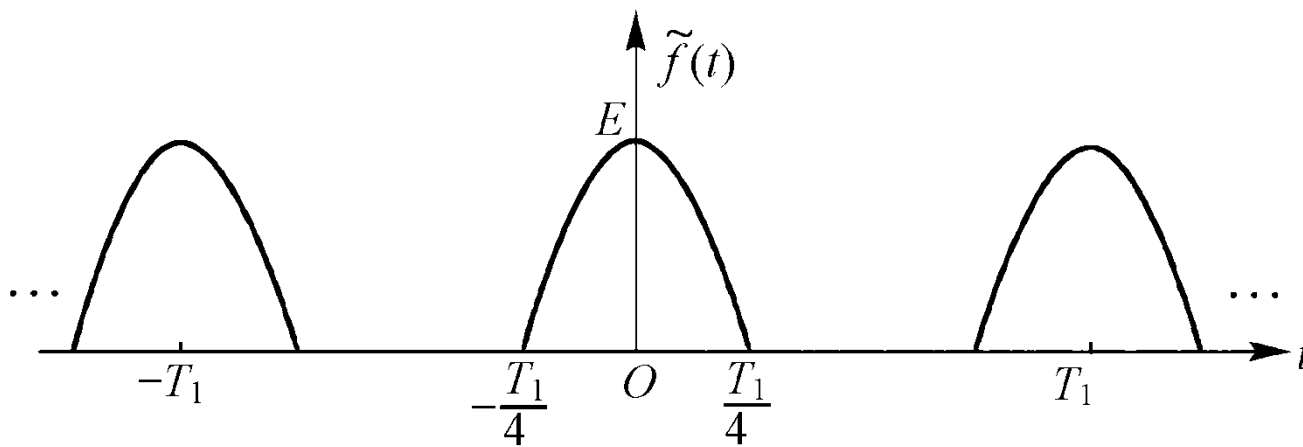
4.2.2 周期锯齿脉冲信号



$$\tilde{f}(t) = \frac{E}{\pi} \sum_{n=1}^{\infty} (-1)^{n+1} \frac{1}{n} \sin n\Omega_1 t$$

周期锯齿脉冲信号的频谱只包含正弦分量，谐波的幅度以 $1/n$ 的规律收敛。

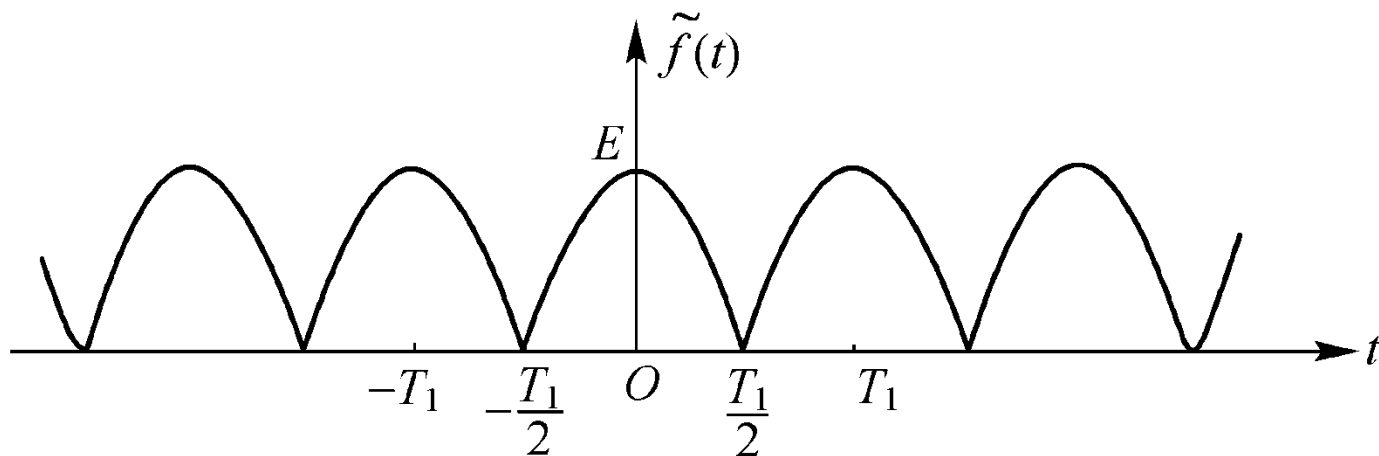
4.2.4 周期半波余弦信号



$$\tilde{f}(t) = \frac{E}{\pi} - \frac{2E}{\pi} \sum_{n=1}^{\infty} \frac{1}{n^2 - 1} \cos \frac{n\pi}{2} \cos n\Omega_1 t$$

周期半波余弦信号的频谱只含有直流、基波和偶次谐波的余弦分量。谐波幅度以 $1/n^2$ 的规律收敛。

4.2.1 周期全波余弦信号

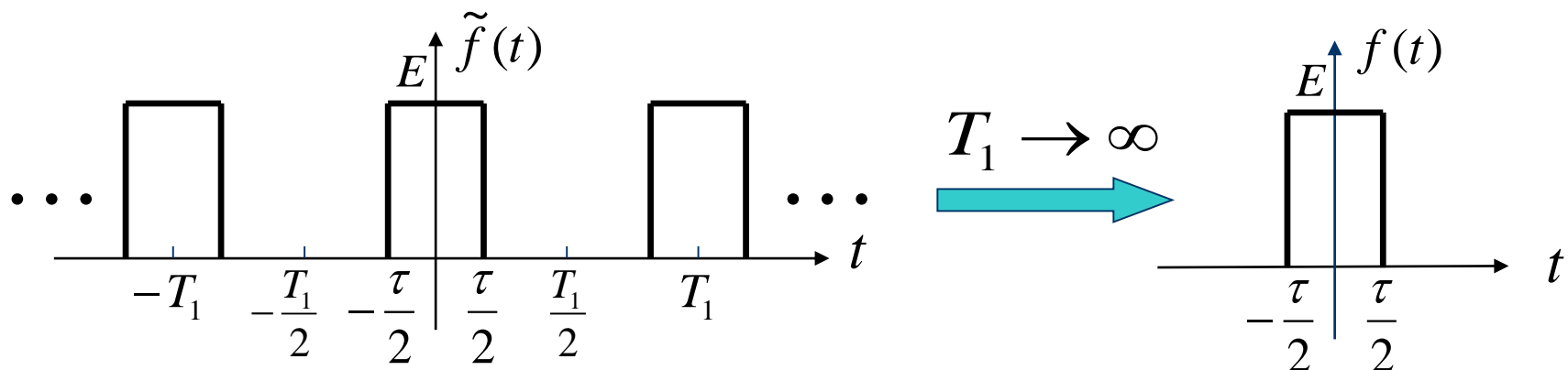


$$\tilde{f}(t) = \frac{2E}{\pi} + \frac{4E}{\pi} \left(\frac{1}{3} \cos \Omega_1 t - \frac{1}{15} \cos 2\Omega_1 t + \frac{1}{35} \cos 3\Omega_1 t - \dots \right)$$

周期全波余弦信号的频谱包含直流分量及 Ω_1 的各次谐波分量。谐波的幅度以 $1/n^2$ 的规律收敛。

4.3 非周期信号的频谱分析——傅里叶变换

1. 傅里叶变换及傅里叶逆变换



$$T_1 \uparrow \longrightarrow \Omega_1 = \frac{2\pi}{T_1} \downarrow \longrightarrow \text{谱线间隔} \downarrow$$

$$T_1 \rightarrow \infty \longrightarrow \Omega_1 = \frac{2\pi}{T_1} \rightarrow 0 \longrightarrow \text{谱线间隔} \rightarrow 0$$

周期信号的离散谱 \longrightarrow 非周期信号的连续谱

$$\text{由于 } T_1 \rightarrow \infty, \quad F_n = \frac{1}{T_1} \int_{-\frac{T_1}{2}}^{\frac{T_1}{2}} \tilde{f}(t) e^{-jn\Omega_1 t} dt \rightarrow 0$$

Show

4.3 非周期信号的频谱分析——傅里叶变换

2. 频谱密度函数

$$\lim_{T_1 \rightarrow \infty} F_n T_1 = \lim_{T_1 \rightarrow \infty} \int_{-\frac{T_1}{2}}^{\frac{T_1}{2}} \tilde{f}(t) e^{-jn\Omega_1 t} dt$$

当 $T_1 \rightarrow \infty$ 时, 离散频率 $n\Omega_1 \rightarrow$ 连续频率 Ω

则
$$\lim_{T_1 \rightarrow \infty} F_n T_1 = \int_{-\infty}^{\infty} f(t) e^{-j\Omega t} dt$$

记为
$$F(j\Omega) = \mathcal{F}[f(t)] = \int_{-\infty}^{\infty} f(t) e^{-j\Omega t} dt \quad (4.3-1)$$

----- 非周期信号 $f(t)$ 的傅里叶变换

$$f(t) = \mathcal{F}^{-1}[F(j\Omega)] = \frac{1}{2\pi} \int_{-\infty}^{\infty} F(j\Omega) e^{j\Omega t} d\Omega \quad (4.3-4)$$

----- 傅里叶逆变换

4.3 非周期信号的频谱分析——傅里叶变换

$$F(j\Omega) = \lim_{T_1 \rightarrow \infty} T_1 F_n = \lim_{\Omega_1 \rightarrow 0} \frac{F_n 2\pi}{\Omega_1} = \frac{F_n 2\pi}{d\Omega} = \frac{F_n}{df}$$

从上式可以看出，具有单位频带复振幅的量纲，因此这个新的量称为原函数的频谱密度函数，简称**频谱函数**。

$$F(j\Omega) = |F(j\Omega)| e^{j\varphi(\Omega)}$$

$$|F(j\Omega)| \text{ ----- 幅度谱}$$

$$\varphi(\Omega) \text{ ----- 相位谱}$$

4.3 非周期信号的频谱分析——傅里叶变换

傅里叶逆变换: $f(t) = \frac{1}{2\pi} \int_{-\infty}^{\infty} F(j\Omega) e^{j\Omega t} d\Omega$

傅里叶变换: $F(j\Omega) = \int_{-\infty}^{\infty} f(t) e^{-j\Omega t} dt$ ----- 连续谱、相对幅度

周期信号: $\tilde{f}(t) = \sum_{n=-\infty}^{\infty} F_n e^{jn\Omega_1 t}$

$$F_n = \frac{1}{T_1} \int_{t_0}^{t_0+T_1} \tilde{f}(t) e^{-jn\Omega_1 t} dt \text{ ----- 离散谱、实际幅度}$$

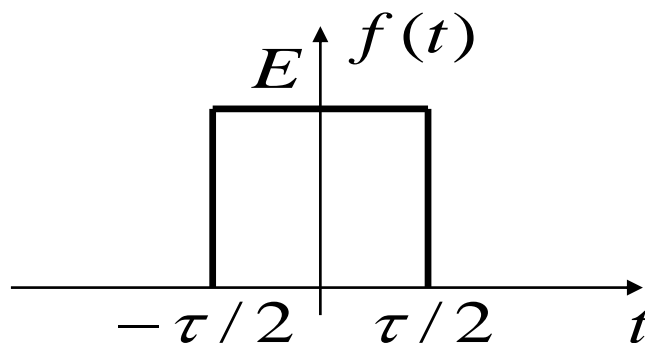
F_n 与 $F(j\Omega)$ 的关系: $\because F(j\Omega) = \lim_{T_1 \rightarrow \infty} F_n T_1$

$$\therefore F_n = \left. \frac{F(j\Omega)}{T_1} \right|_{\Omega=n\Omega_1}$$

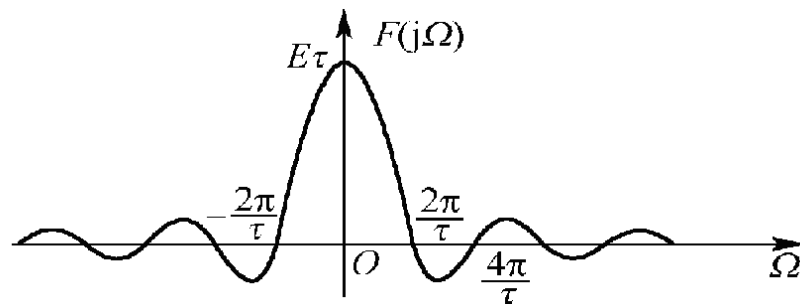
4.4 典型非周期信号的频谱

1. 对称矩形脉冲信号

$$f(t) = \begin{cases} E & |t| < \frac{\tau}{2} \\ 0 & |t| > \frac{\tau}{2} \end{cases}$$



$$F(j\Omega) = \int_{-\frac{\tau}{2}}^{\frac{\tau}{2}} E e^{-j\Omega t} dt = E\tau \text{Sa}\left(\frac{\Omega\tau}{2}\right) \quad (4.4-2)$$



周期矩形脉冲信号:

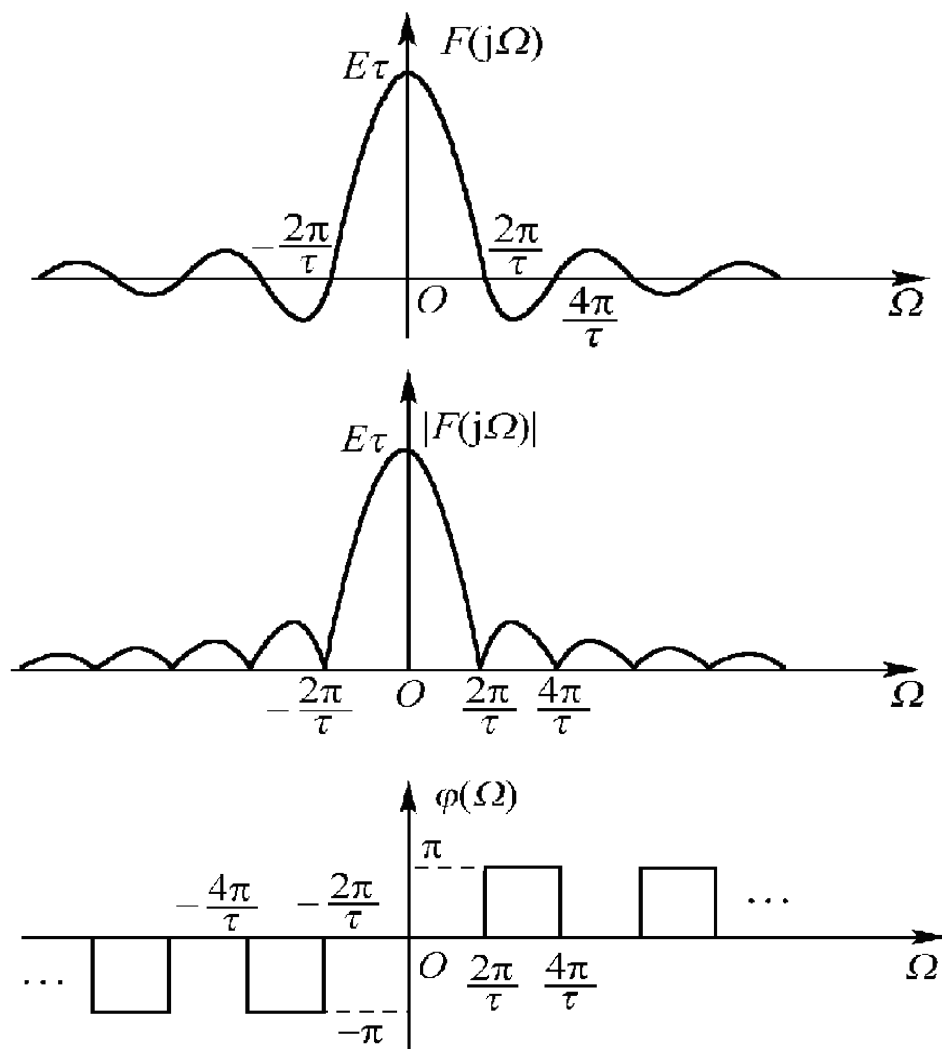
$$F_n = \frac{E\tau}{T_1} \text{Sa}\left(\frac{n\Omega_1\tau}{2}\right)$$

$$B_\Omega = \frac{2\pi}{\tau}, \quad B_f = \frac{1}{\tau}$$

$F(j\omega)$ 与 F_n 之间满足如下关系:

$$F_n = \left. \frac{F(j\Omega)}{T_1} \right|_{\Omega=n\Omega_1}$$

4.4 典型非周期信号的频谱



4.4 典型非周期信号的频谱

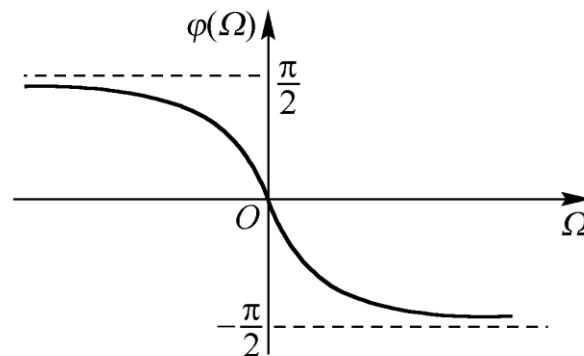
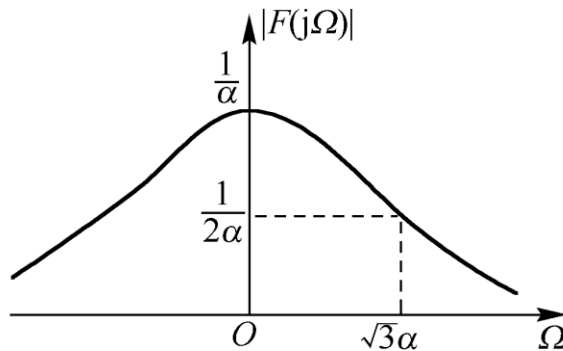
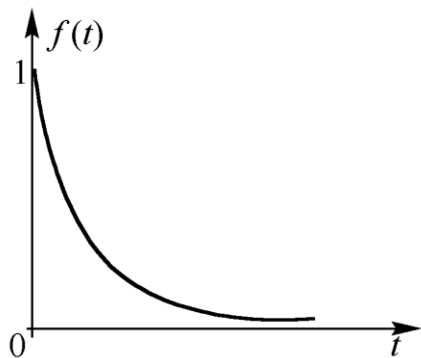
2. 单边指数信号

$$f(t) = \begin{cases} e^{-\alpha t} & t > 0 \\ 0 & t < 0 \end{cases} = e^{-\alpha t} u(t)$$

$$F(j\Omega) = \int_{-\infty}^{\infty} f(t) e^{-j\Omega t} dt = \int_0^{\infty} e^{-\alpha t} e^{-j\Omega t} dt = \frac{1}{\alpha + j\Omega}$$

$$|F(j\Omega)| = \frac{1}{\sqrt{\alpha^2 + \Omega^2}}$$

$$\varphi(\Omega) = -\arctan\left(\frac{\Omega}{\alpha}\right)$$

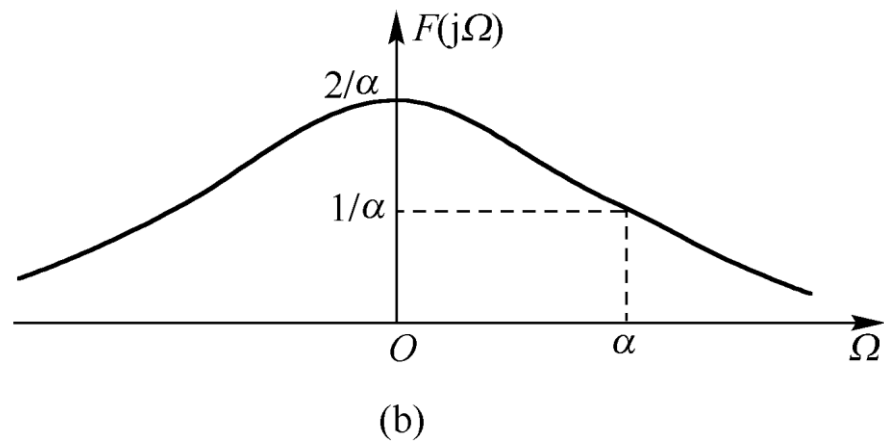
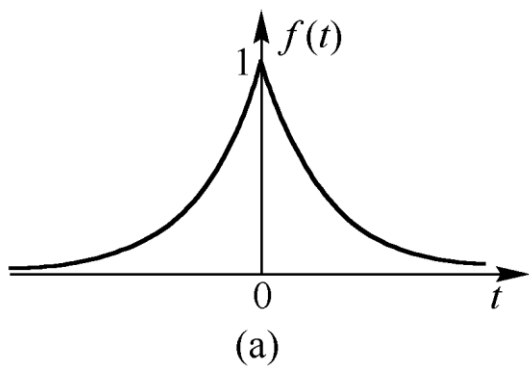


4.4 典型非周期信号的频谱

3. 双边指数信号

$$f(t) = e^{-\alpha|t|}$$

$$F(j\Omega) = \frac{2\alpha}{\alpha^2 + \Omega^2}$$



4.4 典型非周期信号的频谱

4. 符号函数

$$\text{sgn}(t) = \begin{cases} 1 & t > 0 \\ -1 & t < 0 \end{cases}$$

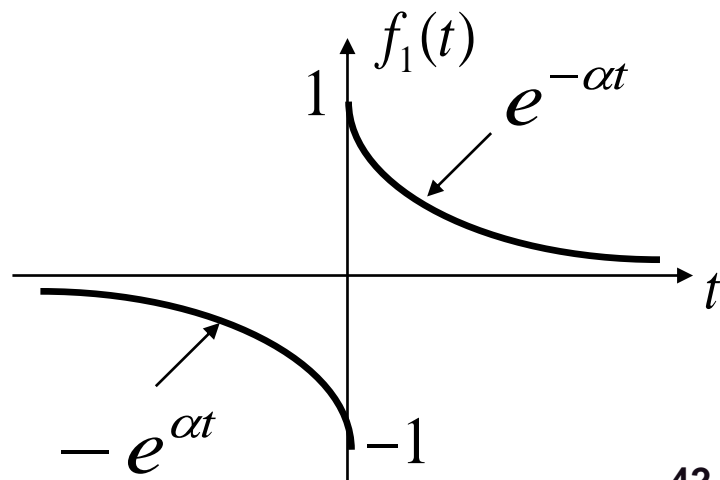
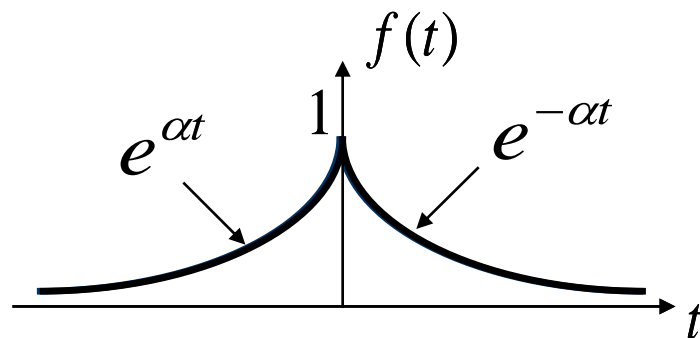
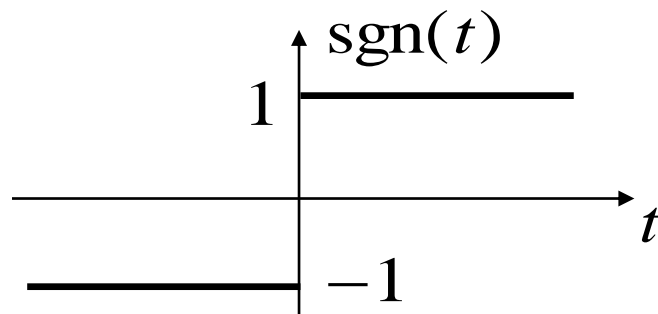
$$f(t) = e^{\alpha t} u(-t) + e^{-\alpha t} u(t)$$

$$\begin{aligned} f_1(t) &= f(t) \text{sgn}(t) \\ &= -e^{\alpha t} u(-t) + e^{-\alpha t} u(t) \end{aligned}$$

$$F_1(j\Omega) = \mathcal{F}[f_1(t)]$$

$$= \int_{-\infty}^0 (-e^{\alpha t}) e^{-j\Omega t} dt + \int_0^{\infty} e^{-\alpha t} e^{-j\Omega t} dt$$

$$= \frac{-2j\Omega}{\alpha^2 + \Omega^2}$$



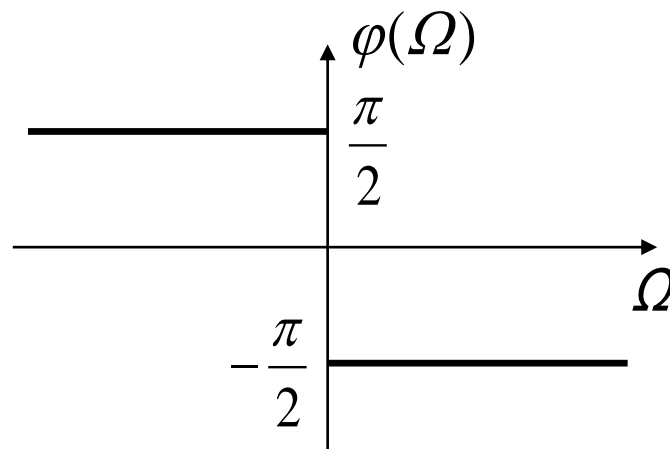
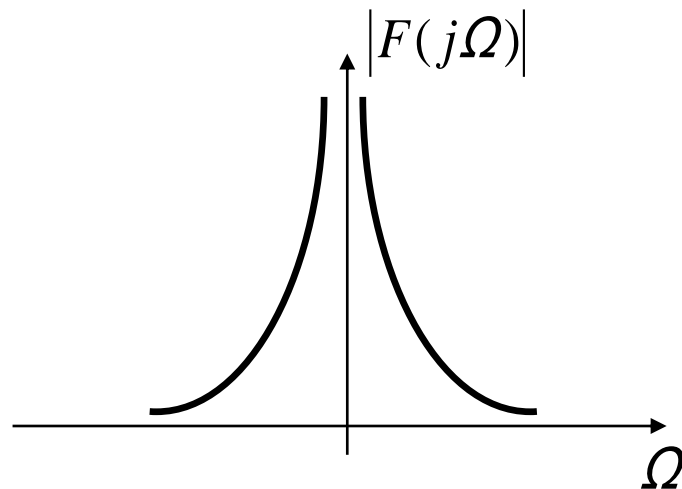
4.4 典型非周期信号的频谱

$$F_1(j\Omega) = \frac{-2j\Omega}{\alpha^2 + \Omega^2}$$

$$F(j\Omega) = \lim_{\alpha \rightarrow 0} F_1(j\Omega) = \frac{2}{j\Omega}$$

$$|F(j\Omega)| = \frac{2}{|\Omega|}$$

$$\varphi(\Omega) = \begin{cases} -\frac{\pi}{2} & \Omega > 0 \\ \frac{\pi}{2} & \Omega < 0 \end{cases}$$



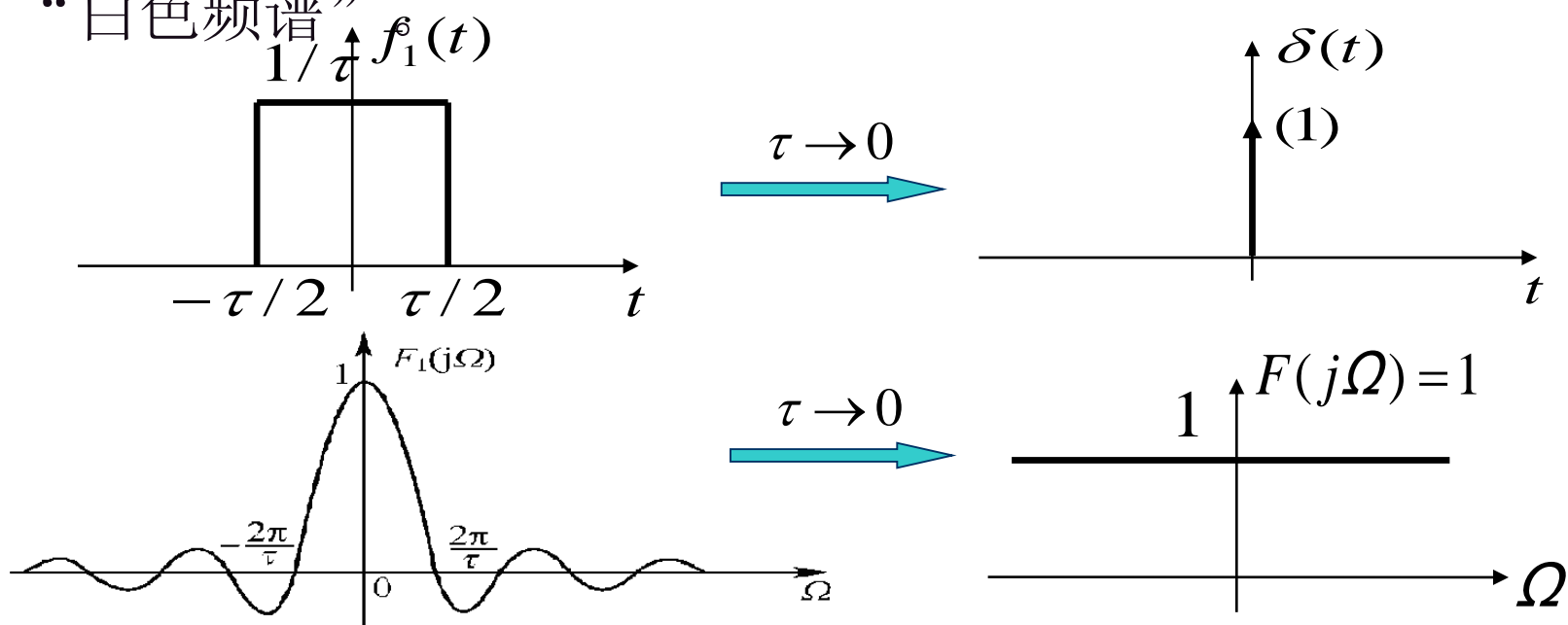
4.4 典型非周期信号的频谱

5. 冲激函数和冲激偶函数

(1) 冲激函数的傅里叶变换

$$F(j\Omega) = \int_{-\infty}^{\infty} \delta(t) e^{-j\Omega t} dt = 1$$

单位冲激函数的频谱等于常数，也就是说，在整个频率范围内频谱是均匀的。这种频谱常常被叫做“均匀谱”或“白色频谱”

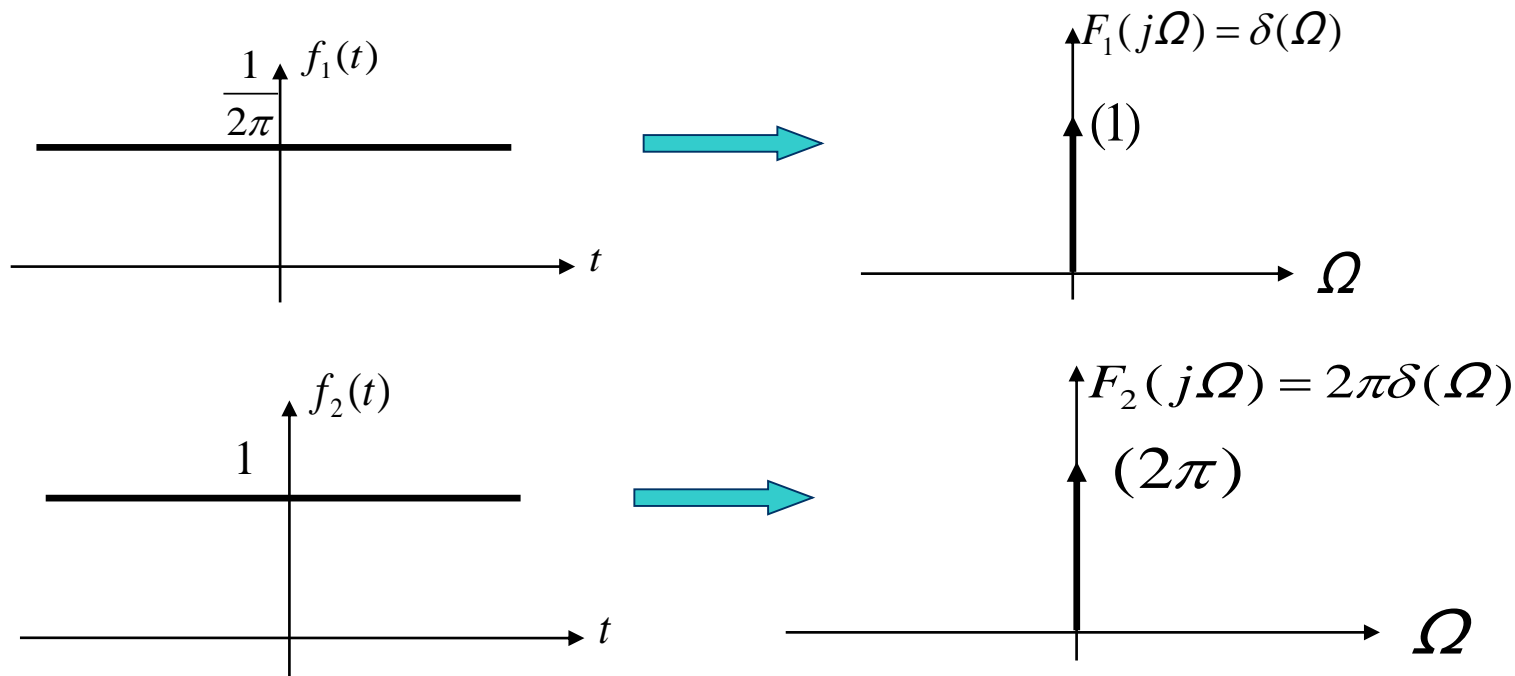


4.4 典型非周期信号的频谱

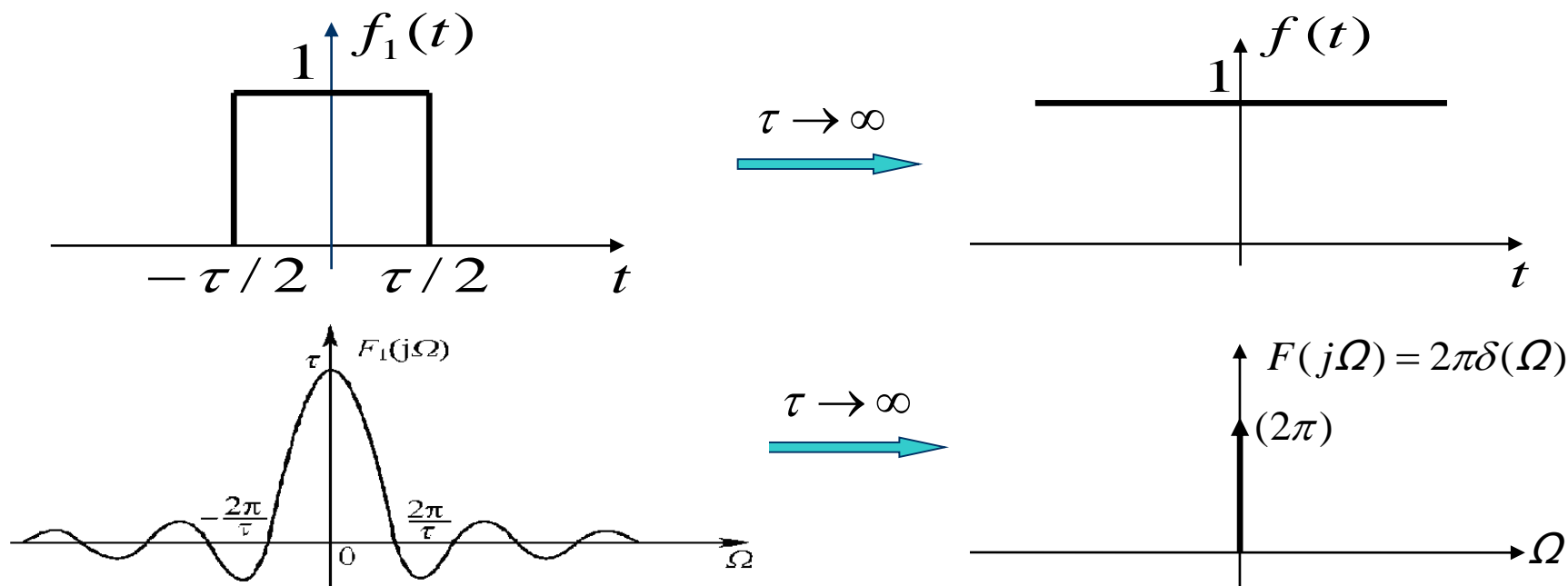
(2) 冲激函数的傅里叶逆变换

$$f(t) = \mathcal{F}^{-1}[\delta(\Omega)] = \frac{1}{2\pi} \int_{-\infty}^{\infty} \delta(\Omega) e^{j\Omega t} d\Omega = \frac{1}{2\pi}$$

或 $\mathcal{F}\left[\frac{1}{2\pi}\right] = \delta(\Omega), \quad \mathcal{F}[1] = 2\pi\delta(\Omega)$



4.4 典型非周期信号的频谱



$$\therefore \lim_{\tau \rightarrow \infty} \left[u\left(t + \frac{\tau}{2}\right) - u\left(t - \frac{\tau}{2}\right) \right] = 1$$

$$\therefore \mathcal{F}[1] = \lim_{\tau \rightarrow \infty} \tau \text{Sa}\left(\frac{\Omega\tau}{2}\right) = \lim_{\tau \rightarrow \infty} \underbrace{\frac{\tau}{2\pi} \text{Sa}\left(\frac{\Omega\tau}{2}\right)}_{\delta(\Omega)} \cdot 2\pi = 2\pi\delta(\Omega)$$

或:

$$\int_{-\infty}^{\infty} \tau \text{Sa}\left(\frac{\Omega\tau}{2}\right) d\Omega = 2\pi$$

Show

4.4 典型非周期信号的频谱

(3) 冲激偶的傅里叶变换

$$\because \mathcal{F}[\delta(t)] = 1, \quad \text{即: } \delta(t) = \frac{1}{2\pi} \int_{-\infty}^{\infty} e^{j\Omega t} d\Omega$$

上式两边对 t 求导得:

$$\frac{d}{dt} \delta(t) = \frac{1}{2\pi} \int_{-\infty}^{\infty} (j\Omega) e^{j\Omega t} d\Omega$$

$$\therefore \mathcal{F}[\delta'(t)] = j\Omega \quad (4.4-23)$$

同理:

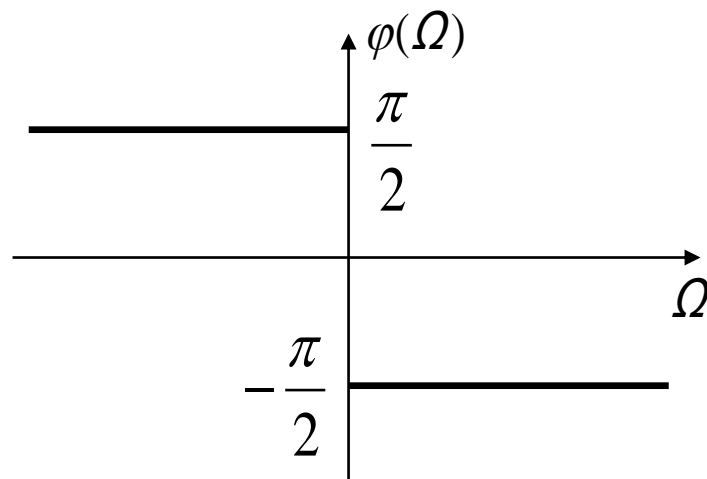
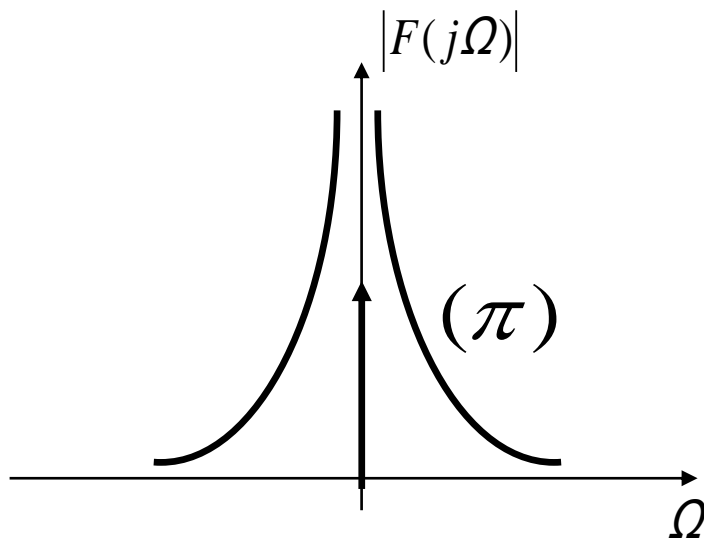
$$\mathcal{F}[\delta^{(n)}(t)] = (j\Omega)^n \quad (4.4-24)$$

4.4 典型非周期信号的频谱

6. 阶跃信号

$$\because u(t) = \frac{1}{2} + \frac{1}{2} \operatorname{sgn}(t)$$

$$\begin{aligned} \therefore F(j\Omega) &= \mathcal{F}[u(t)] = \mathcal{F}\left[\frac{1}{2}\right] + \mathcal{F}\left[\frac{1}{2} \operatorname{sgn}(t)\right] \\ &= \pi\delta(\Omega) + \frac{1}{j\Omega} \end{aligned}$$



4.5 傅里叶变换的基本性质

1. 线性

若 $\mathcal{F}[f_1(t)] = F_1(j\Omega)$, $\mathcal{F}[f_2(t)] = F_2(j\Omega)$,

则 $\mathcal{F}[a_1 f_1(t) + a_2 f_2(t)] = a_1 F_1(j\Omega) + a_2 F_2(j\Omega)$

2. 对称性

设 $F(j\Omega) = |F(j\Omega)| e^{j\varphi(\Omega)} = R(\Omega) + jX(\Omega)$

其中 $|F(j\Omega)| = \sqrt{R^2(\Omega) + X^2(\Omega)}$, $\varphi(\Omega) = \arctan \frac{X(\Omega)}{R(\Omega)}$

若 $\mathcal{F}[f(t)] = F(j\Omega)$

则 $\mathcal{F}[f(-t)] = F(-j\Omega) \quad (4.5-6)$

$\mathcal{F}[f^*(t)] = F^*(-j\Omega) \quad (4.5-7)$

$\mathcal{F}[f^*(-t)] = F^*(j\Omega) \quad (4.5-8)$

4.5 傅里叶变换的基本性质

如:

$$\therefore \mathcal{F}[e^{-\alpha t}u(t)] = \frac{1}{\alpha + j\Omega}$$

$$\therefore \mathcal{F}[e^{\alpha t}u(-t)] = \frac{1}{\alpha - j\Omega}$$

又如: $\therefore \mathcal{F}[u(t)] = \pi\delta(\Omega) + \frac{1}{j\Omega}$

$$\therefore \mathcal{F}[u(-t)] = \pi\delta(-\Omega) - \frac{1}{j\Omega} = \pi\delta(\Omega) - \frac{1}{j\Omega}$$

4.5 傅里叶变换的基本性质

两种特定关系:

1. 若 $f(t)$ 是实函数, 或虚函数 $[f(t)=j g(t)]$, 则 $|F(j\Omega)|$ 是偶函数, $\varphi(\Omega)$ 是奇函数。

2. 若 $f(t)$ 是 t 的实偶函数, 则 $F(j\Omega)$ 必为 Ω 的实偶函数, 即

$$F(j\Omega) = R(\Omega)$$

若 $f(t)$ 是 t 的实奇函数, 则 $F(j\Omega)$ 必为 Ω 的虚奇函数, 即

$$F(j\Omega) = jX(\Omega)$$

例如: $f(t) = e^{-\alpha|t|}$ (实偶) $f(t) = \begin{cases} e^{-\alpha t} & t > 0 \\ -e^{\alpha t} & t < 0 \end{cases}$ (实奇)

$$F(j\Omega) = \frac{2\alpha}{\alpha^2 + \Omega^2} \quad (\text{实偶})$$

$$F(j\Omega) = \frac{-2j\Omega}{\alpha^2 + \Omega^2} \quad (\text{虚奇})$$

4.5 傅里叶变换的基本性质

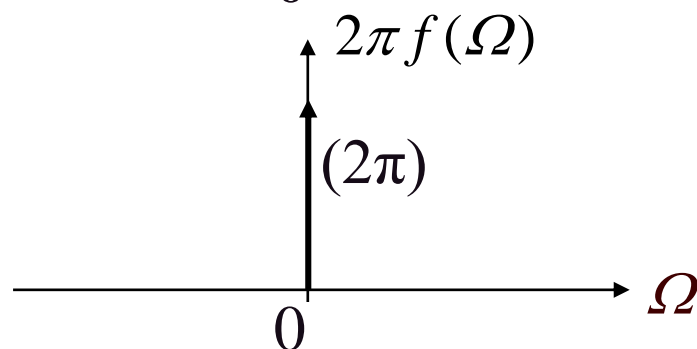
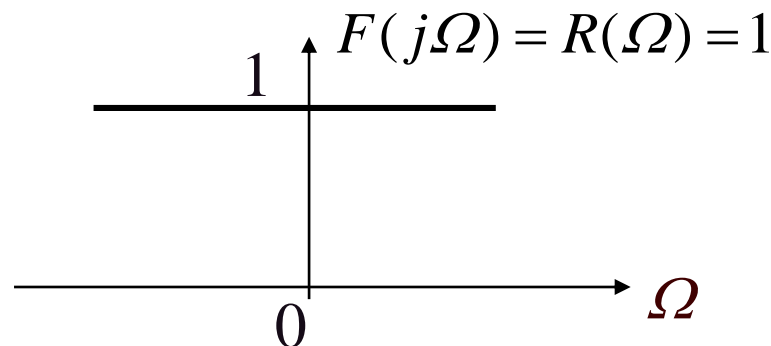
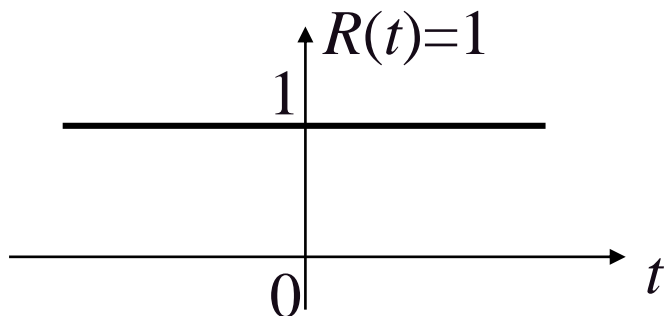
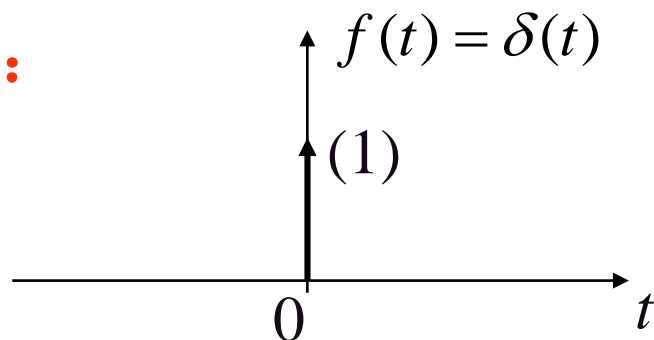
3. 对偶性

若 $\mathcal{F}[f(t)] = F(j\Omega)$, 则 $\mathcal{F}[F(jt)] = 2\pi f(-\Omega)$

若 $f(t)$ 为实偶函数, 则 $F(j\Omega) = R(\Omega) = R(-\Omega)$

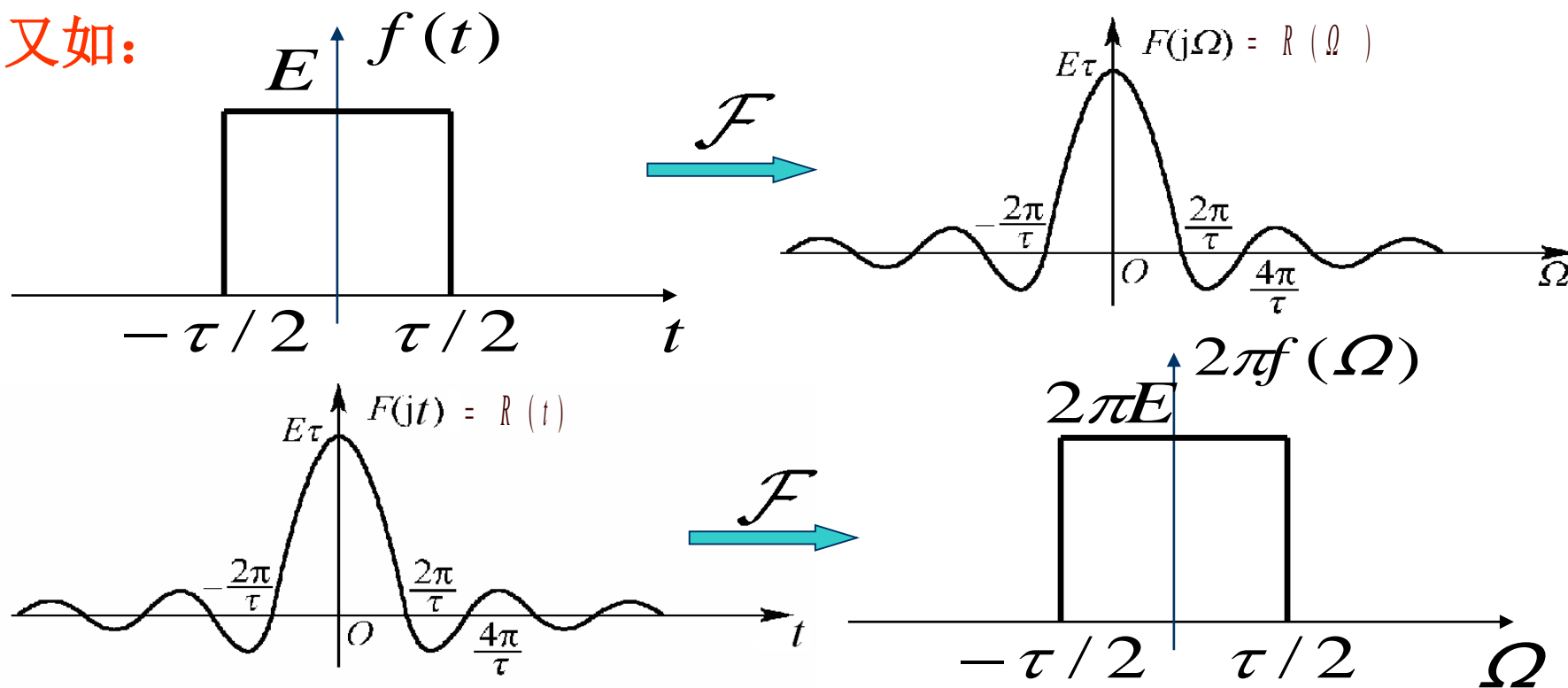
对偶性为: $\mathcal{F}[R(t)] = 2\pi f(\Omega)$

例如:



4.5 傅里叶变换的基本性质

又如:



$$f(t) = E\left[u\left(t + \frac{\tau}{2}\right) - u\left(t - \frac{\tau}{2}\right)\right] \rightarrow R(\Omega) = E\tau \text{Sa}\left(\frac{\Omega\tau}{2}\right)$$

$$R(t) = E\tau \text{Sa}\left(\frac{t\tau}{2}\right) \rightarrow \mathcal{F}[R(t)] = 2\pi E\left[u\left(\Omega + \frac{\tau}{2}\right) - u\left(\Omega - \frac{\tau}{2}\right)\right]$$

4.5 傅里叶变换的基本性质

例4.5-2： 求 $\mathcal{F}\left[\frac{1}{t}\right]$ 。

解： 因为 $\mathcal{F}[\text{sgn}(t)] = \frac{2}{j\Omega}$,

$$\text{所以 } \mathcal{F}\left[\frac{2}{jt}\right] = 2\pi \text{sgn}(-\Omega) = -2\pi \text{sgn}(\Omega)$$

$$\text{这样 } \mathcal{F}\left[\frac{1}{t}\right] = -j\pi \text{sgn}(\Omega)$$

4.5 傅里叶变换的基本性质

利用傅里叶变换的对偶性，可以将求傅里叶逆变换的问题转化为求傅里叶变换来进行。

$$\text{若 } \mathcal{F}[f(t)] = F(j\Omega)$$

$$\text{则 } \mathcal{F}[F(jt)] = 2\pi f(-\Omega)$$

$$\text{即 } f(-\Omega) = \frac{1}{2\pi} \mathcal{F}[F(jt)]$$

$$\therefore f(t) = \frac{1}{2\pi} \mathcal{F}[F(jt)]|_{\Omega=-t}$$

4.5 傅里叶变换的基本性质

例4.5-4：求 $\mathcal{F}^{-1}[j\pi \operatorname{sgn}(\Omega)]$

解： $\because F(jt) = j\pi \operatorname{sgn}(t)$

$$\mathcal{F}[F(jt)] = j\pi \frac{2}{j\Omega} = \frac{2\pi}{\Omega}$$

$$\begin{aligned}\therefore \mathcal{F}^{-1}[j\pi \operatorname{sgn}(\Omega)] &= \frac{1}{2\pi} \mathcal{F}[F(jt)] \Big|_{\Omega=-t} \\ &= \frac{1}{2\pi} \left[\frac{2\pi}{\Omega} \right] \Big|_{\Omega=-t} = -\frac{1}{t}\end{aligned}$$

4.5 傅里叶变换的基本性质

例 已知信号的傅里叶变换为

$$F(j\Omega) = \begin{cases} 2\pi A & |\Omega| < \tau/2 \\ 0 & |\Omega| > \tau/2 \end{cases}$$

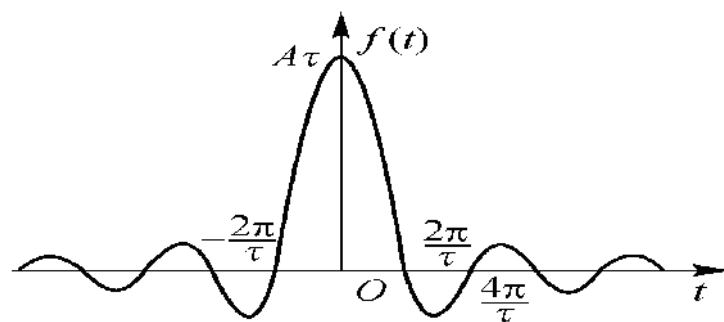
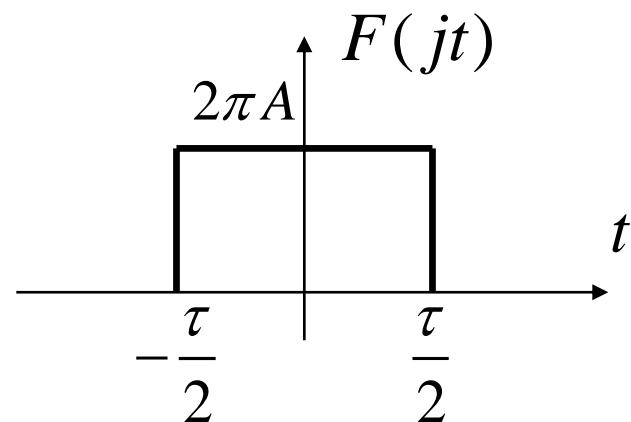
试求其逆变换 $f(t)$ 。

解：

$$F(jt) = \begin{cases} 2\pi A, & |t| < \tau/2 \\ 0, & |t| > \tau/2 \end{cases}$$

$$\mathcal{F}[F(jt)] = 2\pi A\tau \text{Sa}\left(\frac{\Omega\tau}{2}\right)$$

$$\therefore f(t) = \frac{1}{2\pi} \mathcal{F}[F(jt)] \Big|_{\Omega=-t} = \frac{1}{2\pi} \left[2\pi A\tau \text{Sa}\left(\frac{\Omega\tau}{2}\right) \right] \Big|_{\Omega=-t} = A\tau \text{Sa}\left(\frac{t\tau}{2}\right)$$



4.5 傅里叶变换的基本性质

4. 位移性（包括时移性和频移性）

(1) 时移特性

若 $\mathcal{F}[f(t)] = F(j\Omega)$, 则

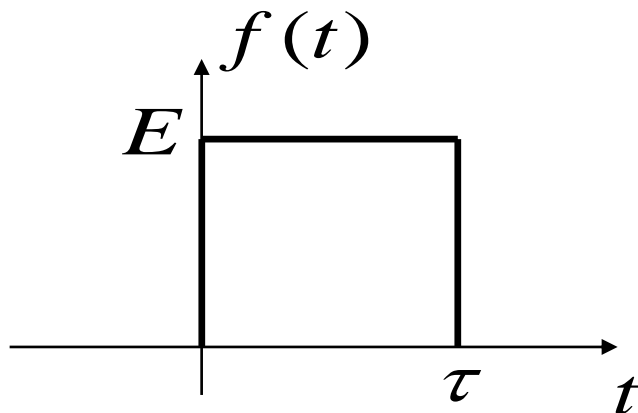
$$\mathcal{F}[f(t-t_0)] = F(j\Omega)e^{-j\Omega t_0}$$

$$\text{同理 } \mathcal{F}[f(t+t_0)] = F(j\Omega)e^{j\Omega t_0}$$

例4.5-5 求题图所示的单边矩形脉冲信号的频谱函数。

解： 因为对称矩形脉冲信号 $G(t)$
的傅里叶变换为

$$G(j\Omega) = E\tau \text{Sa}\left(\frac{\Omega\tau}{2}\right)$$

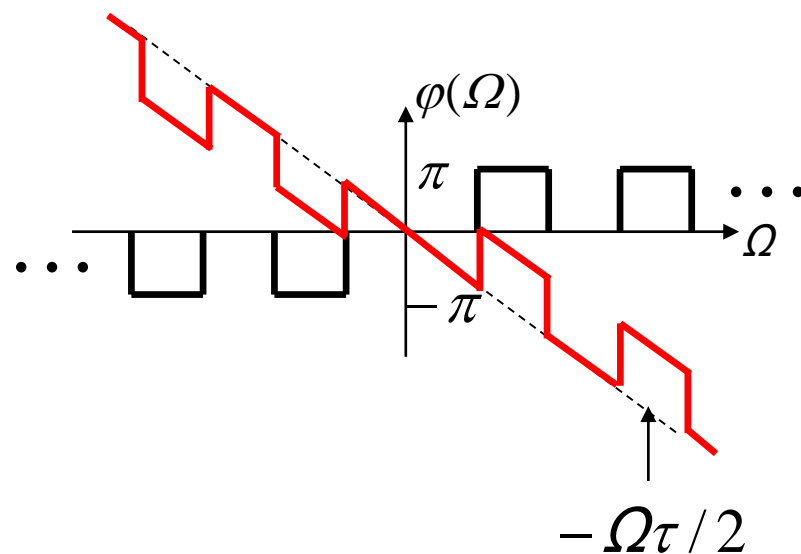
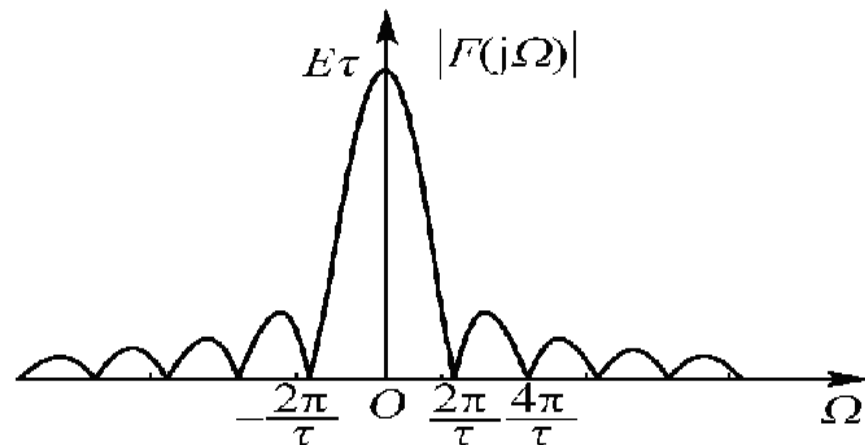


4.5 傅里叶变换的基本性质

$$G(j\Omega) = E\tau \text{Sa}\left(\frac{\Omega\tau}{2}\right)$$

$$F(j\Omega) = E\tau \text{Sa}\left(\frac{\Omega\tau}{2}\right) e^{-j\Omega\frac{\tau}{2}}$$

幅度谱保持不变，相位谱产生附加相移 $-\Omega\tau/2$



4.5 傅里叶变换的基本性质

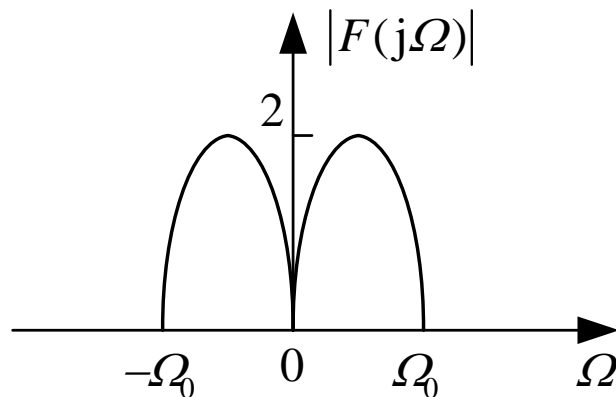
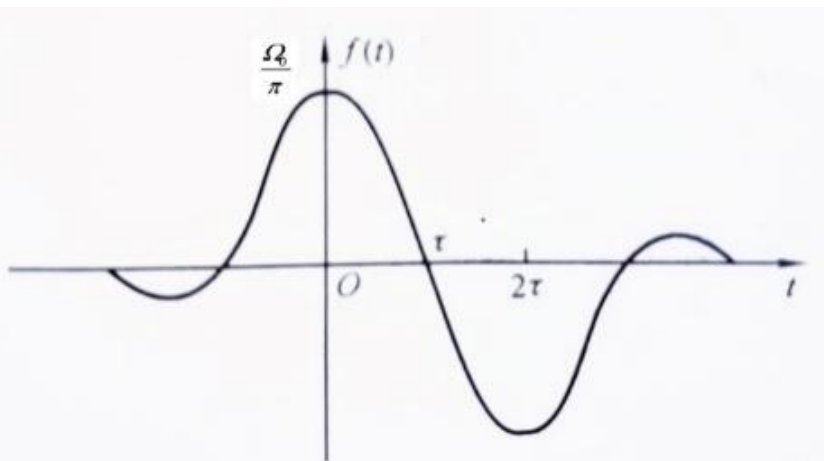
例4.5-6 试求双抽样信号 $f(t) = \frac{\Omega_0}{\pi} [\text{Sa}\Omega_0 t - \text{Sa}\Omega_0(t - 2\tau)]$ 的频谱。

解： 令 $f_0(t) = \frac{\Omega_0}{\pi} \text{Sa}\Omega_0 t$ 则 $F_0(j\Omega) = u(\Omega + \Omega_0) - u(\Omega - \Omega_0)$

$$\text{又 } \frac{\Omega_0}{\pi} \text{Sa}\Omega_0(t - 2\tau) = f_0(t - 2\tau)$$

由时移特性可得其频谱为 $e^{-j2\Omega\tau} F_0(j\Omega)$ ，因此

$$F(j\Omega) = (1 - e^{-j2\Omega\tau})[u(\Omega + \Omega_0) - u(\Omega - \Omega_0)] = \begin{cases} 2j \sin \tau\Omega, & |\Omega| < \Omega_0 \\ 0, & |\Omega| > \Omega_0 \end{cases}$$



4.5 傅里叶变换的基本性质

(2) 频移特性 (调制定理)

若 $\mathcal{F}[f(t)] = F(j\Omega)$, 则

$$\mathcal{F}[f(t)e^{j\Omega_0 t}] = F[j(\Omega - \Omega_0)] \quad (4.5-17)$$

$$\text{同理 } \mathcal{F}[f(t)e^{-j\Omega_0 t}] = F[j(\Omega + \Omega_0)] \quad (4.5-18)$$

因为 $\cos \Omega_0 t = \frac{1}{2}(e^{j\Omega_0 t} + e^{-j\Omega_0 t})$, $\sin \Omega_0 t = \frac{1}{2j}(e^{j\Omega_0 t} - e^{-j\Omega_0 t})$

$$\text{所以 } \mathcal{F}[f(t)\cos \Omega_0 t] = \frac{1}{2}\{F[j(\Omega + \Omega_0)] + F[j(\Omega - \Omega_0)]\}$$

$$\mathcal{F}[f(t)\sin \Omega_0 t] = \frac{j}{2}\{F[j(\Omega + \Omega_0)] - F[j(\Omega - \Omega_0)]\}$$

4.5 傅里叶变换的基本性质

例4.5-7 求 $e^{j\Omega_0 t}$, $\cos \Omega_0 t$ 及 $\sin \Omega_0 t$ 的频谱。

解： 因为 $\mathcal{F}[1] = 2\pi\delta(\Omega)$, 再根据频移性可得

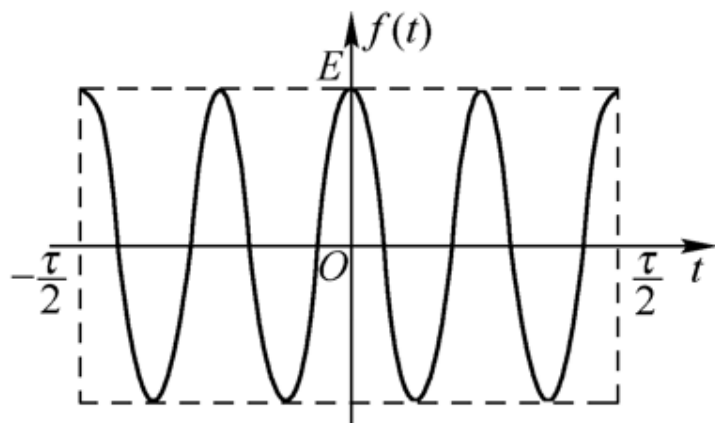
$$\mathcal{F}[e^{j\Omega_0 t}] = 2\pi\delta(\Omega - \Omega_0) \quad (4.5-21)$$

$$\mathcal{F}[\cos \Omega_0 t] = \pi[\delta(\Omega + \Omega_0) + \delta(\Omega - \Omega_0)] \quad (4.5-22)$$

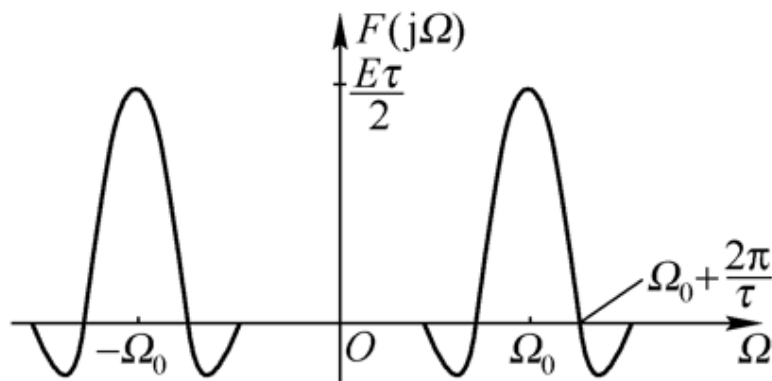
$$\mathcal{F}[\sin \Omega_0 t] = j\pi[\delta(\Omega + \Omega_0) - \delta(\Omega - \Omega_0)] \quad (4.5-23)$$

4.5 傅里叶变换的基本性质

例4.5-8 求矩形脉冲调幅信号的频谱，已知 $f(t)=G(t) \cos \Omega_0 t$ ，其中 $G(t)$ 为矩形脉冲，脉幅为 E ，脉宽为 τ 。



(a) 波形



(b) 频谱

$$\therefore G(j\Omega) = E\tau \text{Sa}\left(\frac{\Omega\tau}{2}\right)$$

$$\therefore F(j\Omega) = \frac{1}{2} \left\{ G[j(\Omega + \Omega_0)] + G[j(\Omega - \Omega_0)] \right\}$$

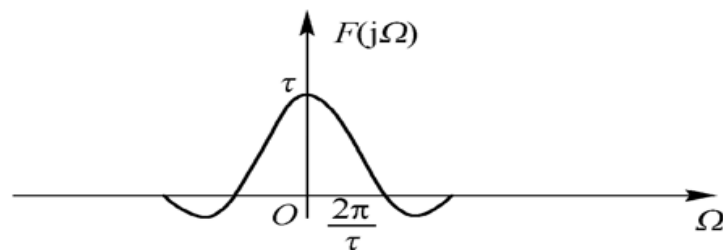
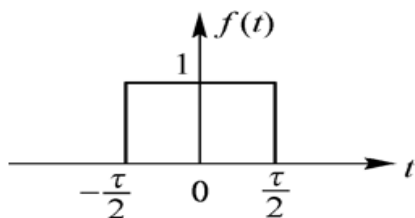
$$= \frac{E\tau}{2} \text{Sa}\left[(\Omega + \Omega_0)\frac{\tau}{2}\right] + \frac{E\tau}{2} \text{Sa}\left[(\Omega - \Omega_0)\frac{\tau}{2}\right]$$

4.5 傅里叶变换的基本性质

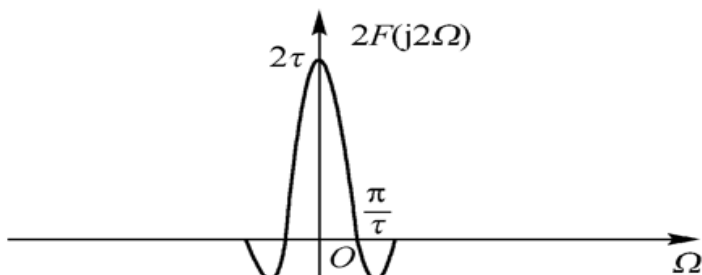
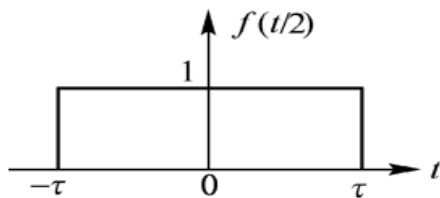
5. 尺度变换

若 $\mathcal{F}[f(t)] = F(j\Omega)$, 则 $\mathcal{F}[f(at)] = \frac{1}{|a|} F\left(j\frac{\Omega}{a}\right)$ (4.5-24)

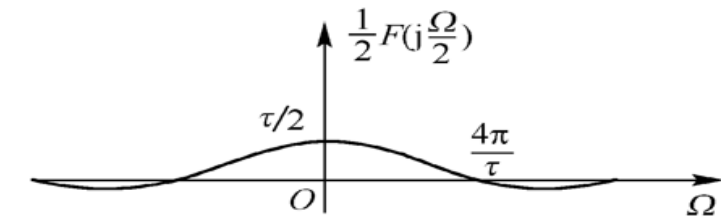
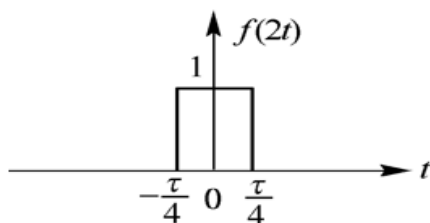
信号在时域中压缩等效在频域中扩展；反之，信号在时域中扩展等效在频域中压缩。



(a)



(b)



(c)

4.5 傅里叶变换的基本性质

特例： $\mathcal{F}[f(-t)] = F(-j\Omega)$ (4.5-25)

综合时移特性与尺度变换特性，还可以证明以下两式

$$\mathcal{F}[f(at - t_0)] = \frac{1}{|a|} F\left(j\frac{\Omega}{a}\right) e^{-j\frac{\Omega t_0}{a}} \quad (4.5-26)$$

$$\mathcal{F}[f(t_0 - at)] = \frac{1}{|a|} F\left(-j\frac{\Omega}{a}\right) e^{-j\frac{\Omega t_0}{a}} \quad (4.5-27)$$

4.5 傅里叶变换的基本性质

6. 卷积定理

卷积定理包括时域卷积定理和频域卷积定理。

(1) 时域卷积定理

若 $\mathcal{F}[f_1(t)] = F_1(j\Omega)$, $\mathcal{F}[f_2(t)] = F_2(j\Omega)$, 则

$$\mathcal{F}[f_1(t) * f_2(t)] = F_1(j\Omega)F_2(j\Omega) \quad (4.5-28)$$

(2) 频域卷积定理

若 $\mathcal{F}[f_1(t)] = F_1(j\Omega)$, $\mathcal{F}[f_2(t)] = F_2(j\Omega)$, 则

$$\mathcal{F}[f_1(t)f_2(t)] = \frac{1}{2\pi} F_1(j\Omega) * F_2(j\Omega) \quad (4.5-29)$$

其中
$$F_1(j\Omega) * F_2(j\Omega) = \int_{-\infty}^{\infty} F_1(j\mu)F_2[j(\Omega - \mu)]d\mu$$

4.5 傅里叶变换的基本性质

例4.5-9 已知两矩形脉冲信号分别为

$$f_1(t) = 2[u(t+1) - u(t-1)], \quad f_2(t) = u(t+2) - u(t-2)$$

求 $f_1(t) * f_2(t)$ 的傅里叶变换 $F(j\Omega) = \mathcal{F}[f_1(t) * f_2(t)]$

解： $F_1(j\Omega) = \mathcal{F}[f_1(t)] = 4\text{Sa}(\Omega)$

$$F_2(j\Omega) = \mathcal{F}[f_2(t)] = 4\text{Sa}(2\Omega)$$

根据时域卷积定理，可求出

$$\begin{aligned} F(j\Omega) &= \mathcal{F}[f_1(t) * f_2(t)] = F_1(j\Omega)F_2(j\Omega) \\ &= 16\text{Sa}(\Omega)\text{Sa}(2\Omega) \end{aligned}$$

4.5 傅里叶变换的基本性质

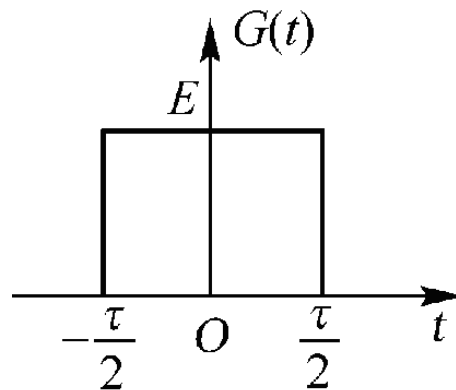
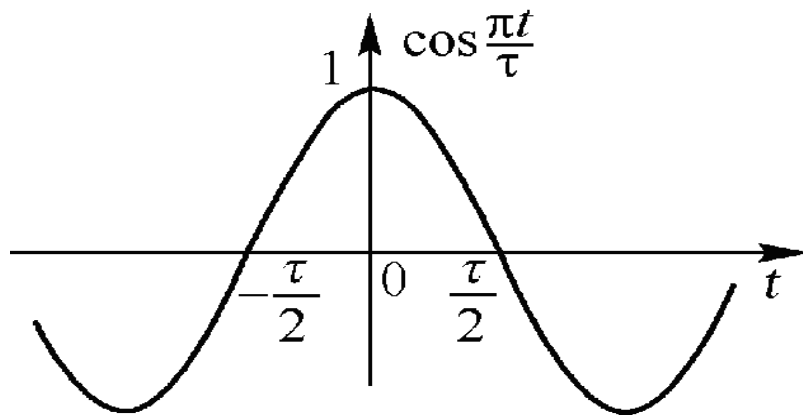
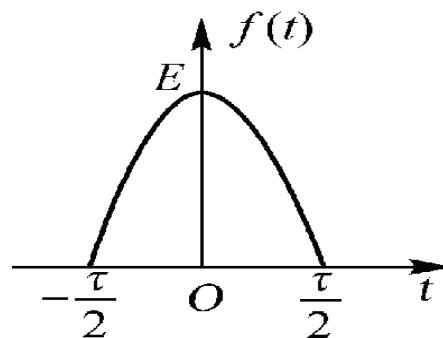
例4.5-10 利用频域卷积定理求余弦

脉冲信号 $f(t)$ 的频谱函数。

$$f(t) = \begin{cases} E \cos \frac{\pi}{\tau} t & |t| \leq \tau/2 \\ 0 & |t| > \tau/2 \end{cases}$$

解：把 $f(t)$ 看作是矩形脉冲 $G(t)$ 与无穷长余弦函数的乘积。

$$G(j\Omega) = \mathcal{F}[G(t)] = E\tau \text{Sa}\left(\frac{\Omega\tau}{2}\right)$$
$$\mathcal{F}\left[\cos \frac{\pi}{\tau} t\right] = \pi \left[\delta\left(\Omega + \frac{\pi}{\tau}\right) + \delta\left(\Omega - \frac{\pi}{\tau}\right) \right]$$

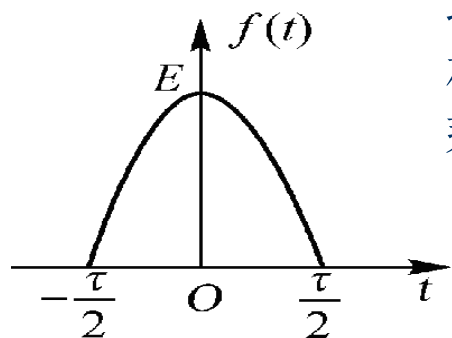
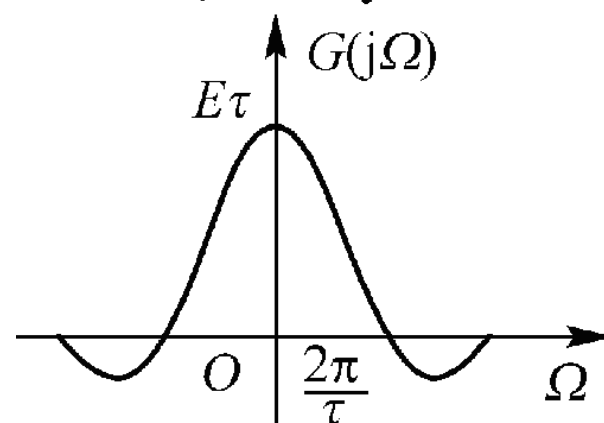
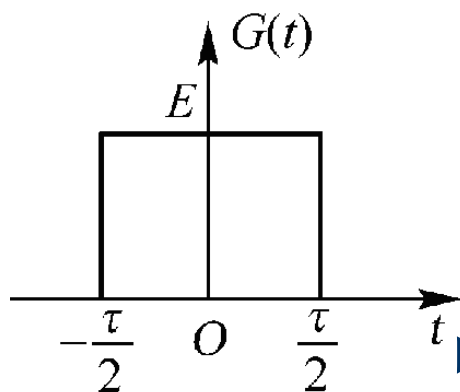
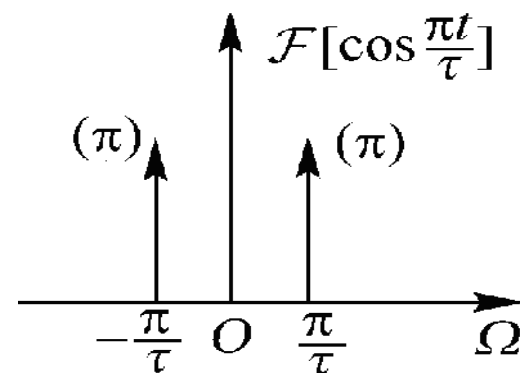
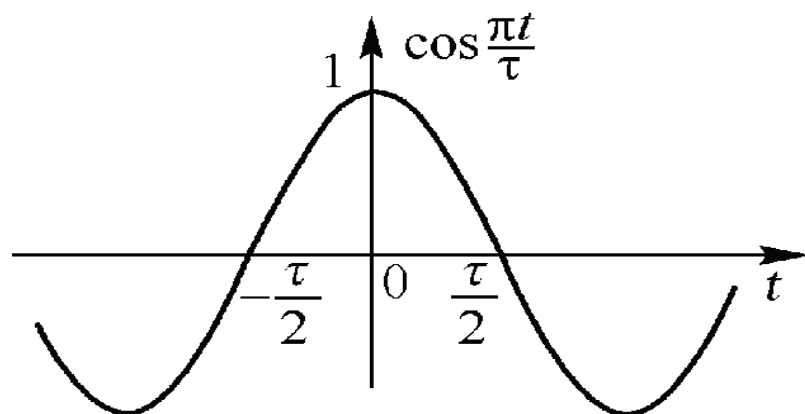


4.5 傅里叶变换的基本性质

根据频域卷积定理，可以得到 $f(t)$ 的频谱函数为

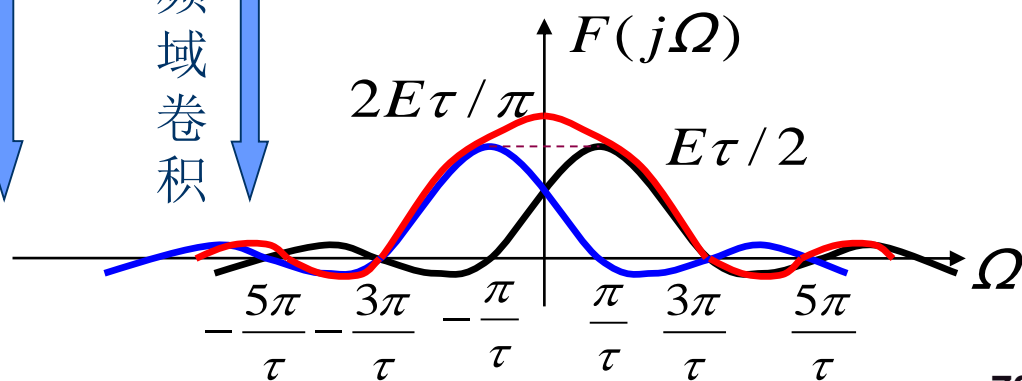
$$\begin{aligned} F(j\Omega) &= \mathcal{F}\left[G(t)\cos\frac{\pi}{\tau}t\right] = \frac{1}{2\pi}G(j\Omega) * \mathcal{F}\left[\cos\frac{\pi}{\tau}t\right] \\ &= \frac{1}{2\pi}E\tau\text{Sa}\left(\frac{\Omega\tau}{2}\right) * \pi\left[\delta\left(\Omega + \frac{\pi}{\tau}\right) + \delta\left(\Omega - \frac{\pi}{\tau}\right)\right] \\ &= \frac{E\tau}{2}\text{Sa}\left[\left(\Omega + \frac{\pi}{\tau}\right)\frac{\tau}{2}\right] + \frac{E\tau}{2}\text{Sa}\left[\left(\Omega - \frac{\pi}{\tau}\right)\frac{\tau}{2}\right] \\ &= \frac{2E\tau}{\pi} \frac{\cos(\frac{\Omega\tau}{2})}{\left[1 - \left(\frac{\Omega\tau}{\pi}\right)^2\right]} \end{aligned}$$

4.5 傅里叶变换的基本性质



时域相乘

频域卷积



4.5 傅里叶变换的基本性质

7. 微分与积分

微分与积分特性包括时域微分与积分特性和频域微分与积分特性。

(1) 时域微分

$$\text{若 } \mathcal{F}[f(t)] = F(j\Omega), \text{ 则 } \mathcal{F}\left[\frac{df(t)}{dt}\right] = j\Omega F(j\Omega) \quad (4.5-31)$$

$$\mathcal{F}\left[\frac{d^n f(t)}{dt^n}\right] = (j\Omega)^n F(j\Omega) \quad (4.5-32)$$

例如：由于 $\mathcal{F}[\delta(t)] = 1$ ，所以

$$\mathcal{F}[\delta'(t)] = j\Omega, \quad \mathcal{F}[\delta^{(n)}(t)] = (j\Omega)^n$$

4.5 傅里叶变换的基本性质

(2) 时域积分

若 $\mathcal{F}[f(t)] = F(j\Omega)$, 则

$$\mathcal{F}\left[\int_{-\infty}^t f(\tau)d\tau\right] = \frac{F(j\Omega)}{j\Omega} + \pi F(0)\delta(\Omega) \quad (4.5-35)$$

式中, $F(0) = F(j\Omega)|_{\Omega=0}$

如果 $F(0) = 0$, 则

$$\mathcal{F}\left[\int_{-\infty}^t f(\tau)d\tau\right] = \frac{F(j\Omega)}{j\Omega} \quad (4.5-36)$$

4.5 傅里叶变换的基本性质

当 $f(t)$ 的导数 $\varphi(t) = \frac{df(t)}{dt}$ 的频谱比较容易求出时, 可以利用积分特性来求原函数的频谱, 但需要对式 (1) 进行修正。

$$F(j\Omega) = \frac{\Phi(j\Omega)}{j\Omega} + [f(-\infty) + f(\infty)]\pi\delta(\Omega) \quad (4.5-37)$$

$$\text{式中, } \Phi(j\Omega) = \mathcal{F}\left[\frac{d}{dt}f(t)\right] = \mathcal{F}[\varphi(t)] \quad ,$$

$$f(\infty) = \lim_{t \rightarrow \infty} f(t), \quad f(-\infty) = \lim_{t \rightarrow -\infty} f(t)$$

1. 当 $f(-\infty) = 0$, $f(\infty) \neq 0$ 时, 有

$$F(j\Omega) = \frac{\Phi(j\Omega)}{j\Omega} + \pi\Phi(0)\delta(\Omega)$$

2. 当 $f(-\infty) = 0$, $f(\infty) = 0$ 时, 有 $F(j\Omega) = \frac{\Phi(j\Omega)}{j\Omega}$

4.5 傅里叶变换的基本性质

例：利用积分特性分别求 $f_1(t) = u(t)$ 及 $f_2(t) = \frac{1}{2}\text{sgn}(t)$ 的傅里叶变换。

解：由于 $\varphi_1(t) = \frac{du(t)}{dt} = \delta(t)$, $\varphi_2(t) = \frac{d}{dt}[\frac{1}{2}\text{sgn}(t)] = \delta(t)$

即 $\Phi_1(j\Omega) = \Phi_2(j\Omega) = 1$

又因为 $f_1(-\infty) = 0$, $f_1(\infty) = 1$, $f_2(-\infty) = -\frac{1}{2}$, $f_2(\infty) = \frac{1}{2}$

所以,

$$\mathcal{F}[u(t)] = \frac{\Phi_1(j\Omega)}{j\Omega} + [f_1(\infty) + f_1(-\infty)]\pi\delta(\Omega) = \frac{1}{j\Omega} + \pi\delta(\Omega)$$

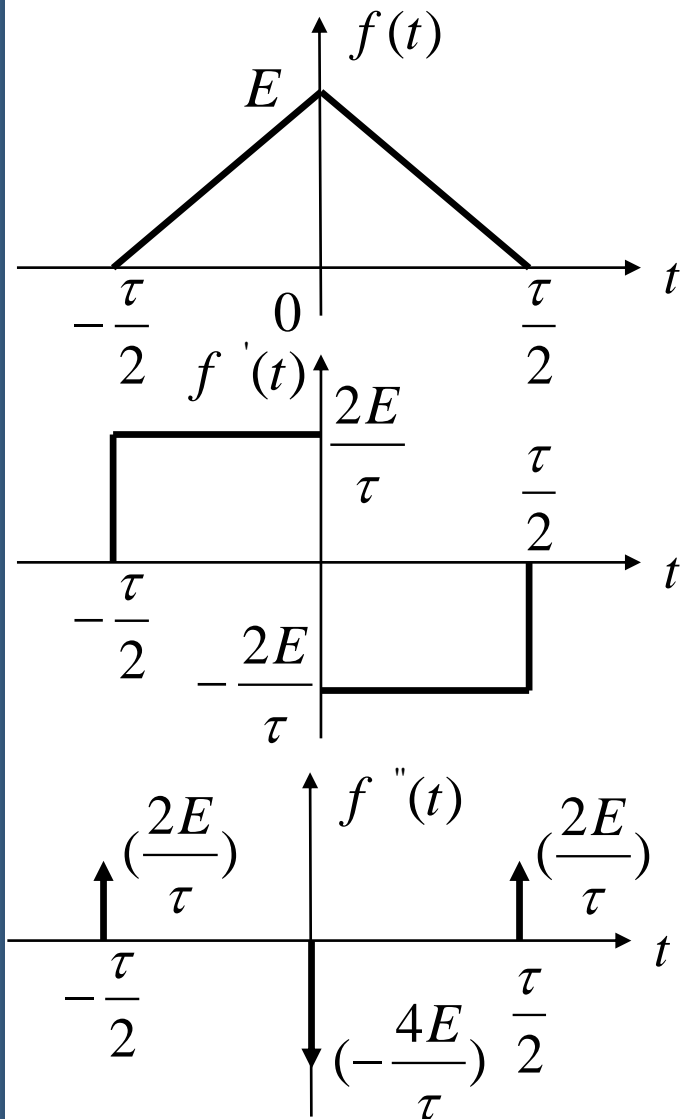
$$\mathcal{F}[\frac{1}{2}\text{sgn}(t)] = \frac{\Phi_2(j\Omega)}{j\Omega} + [f_2(\infty) + f_2(-\infty)]\pi\delta(\Omega) = \frac{1}{j\Omega}$$

即

$$\mathcal{F}[\text{sgn}(t)] = \frac{2}{j\Omega}$$

4.5 傅里叶变换的基本性质

例4.5-11 求下图所示的三角脉冲信号的傅里叶变换。



解： 首先求出 $f(t)$ 的一阶导数和二阶导数

$$f''(t) = \frac{2E}{\tau} \left[\delta\left(t + \frac{\tau}{2}\right) + \delta\left(t - \frac{\tau}{2}\right) - 2\delta(t) \right]$$

对上式两边取傅里叶变换：

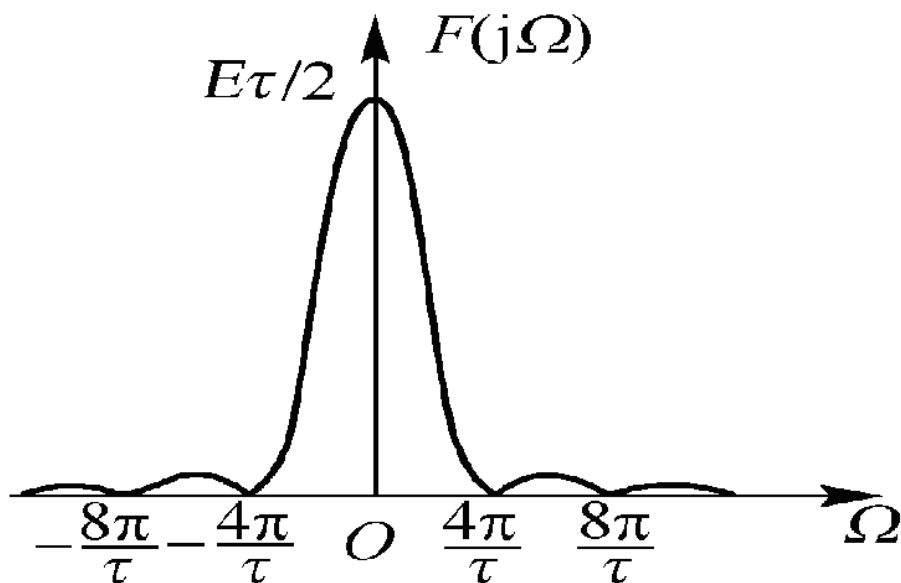
$$\begin{aligned} (j\Omega)^2 F(j\Omega) &= \frac{2E}{\tau} \left[e^{j\Omega\frac{\tau}{2}} + e^{-j\Omega\frac{\tau}{2}} - 2 \right] \\ &= -\frac{\Omega^2 E \tau}{2} \text{Sa}^2\left(\frac{\Omega\tau}{4}\right) \end{aligned}$$

4.5 傅里叶变换的基本性质

$$(\mathrm{j}\Omega)^2 F(\mathrm{j}\Omega) = \frac{2E}{\tau} \left[\mathrm{e}^{\mathrm{j}\Omega\frac{\tau}{2}} + \mathrm{e}^{-\mathrm{j}\Omega\frac{\tau}{2}} - 2 \right] = -\frac{\Omega^2 E\tau}{2} \mathrm{Sa}^2\left(\frac{\Omega\tau}{4}\right)$$

由于 $f(-\infty) = f(\infty) = 0$ ，所以可以利用的二阶导数的频谱来求其原函数的频谱。于是

$$F(\mathrm{j}\Omega) = \frac{E\tau}{2} \mathrm{Sa}^2\left(\frac{\Omega\tau}{4}\right)$$

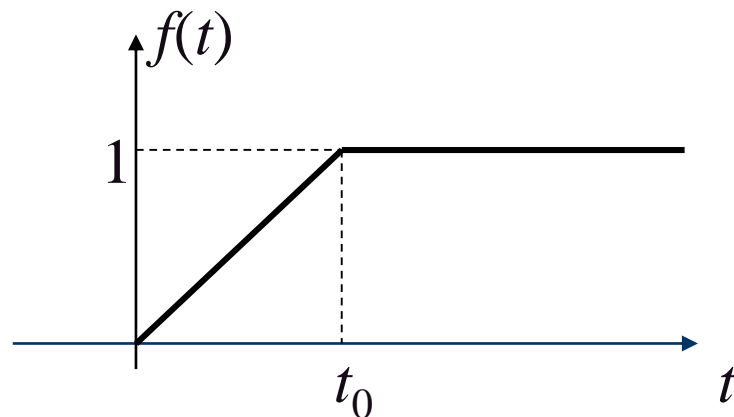


4.5 傅里叶变换的基本性质

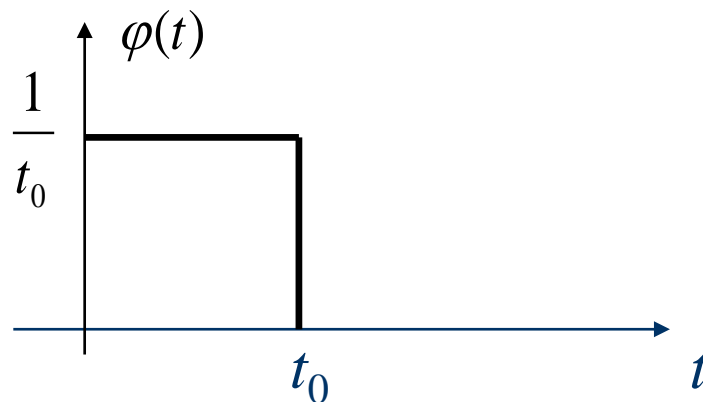
例4.5-12 求下图所示信号 $f(t)$ 的傅里叶变换。

解：

$$f(t) = \begin{cases} 0, & t < 0 \\ \frac{t}{t_0}, & 0 \leq t \leq t_0 \\ 1, & t > t_0 \end{cases}$$



$$\varphi(t) = \frac{df(t)}{dt} = \begin{cases} \frac{1}{t_0} & 0 \leq t \leq t_0 \\ 0 & t < 0, t > t_0 \end{cases}$$



$$\Phi(j\Omega) = \text{Sa}\left(\frac{\Omega t_0}{2}\right) e^{-j\Omega \frac{t_0}{2}}$$

4.5 傅里叶变换的基本性质

$$\Phi(j\Omega) = \text{Sa}\left(\frac{\Omega t_0}{2}\right) e^{-j\Omega \frac{t_0}{2}}$$

$$\because f(\infty) = 1, \quad f(-\infty) = 0$$

$$\begin{aligned} \therefore F(j\Omega) &= \frac{\Phi(j\Omega)}{j\Omega} + [f(\infty) + f(-\infty)]\pi\delta(\Omega) \\ &= \frac{1}{j\Omega} \text{Sa}\left(\frac{\Omega t_0}{2}\right) e^{-j\Omega \frac{t_0}{2}} + \pi\delta(\Omega) \end{aligned}$$

4.5 傅里叶变换的基本性质

(3) 频域微分

若 $\mathcal{F}[f(t)] = F(j\Omega)$, 则

$$\mathcal{F}[(-jt)f(t)] = \frac{dF(j\Omega)}{d\Omega} \quad (4.5-39)$$

$$\mathcal{F}[(-jt)^n f(t)] = \frac{d^n F(j\Omega)}{d\Omega^n} \quad (4.5-40)$$

例: $\because \mathcal{F}[1] = 2\pi\delta(\Omega)$

$$\therefore \mathcal{F}[t] = 2\pi j\delta'(\Omega)$$

$$\mathcal{F}[t^n] = 2\pi j^n \delta^{(n)}(\Omega)$$

4.5 傅里叶变换的基本性质

(4) 频域积分

若 $\mathcal{F}[f(t)] = F(j\Omega)$, 则

$$\mathcal{F}^{-1}\left[\int_{-\infty}^{\Omega} F(j\mu) d\mu\right] = \frac{f(t)}{-jt} + \pi f(0)\delta(t) \quad (4.5-44)$$

若 $f(0) = 0$, 则

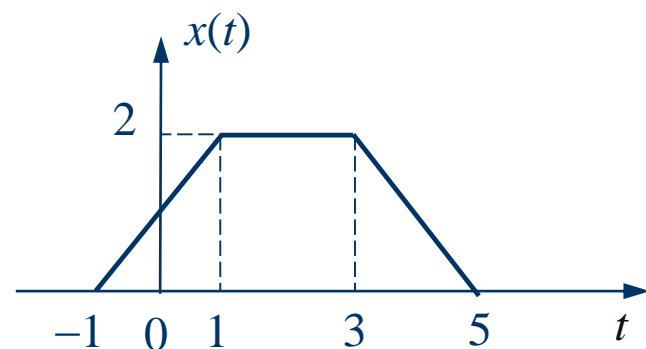
$$\mathcal{F}^{-1}\left[\int_{-\infty}^{\Omega} F(j\mu) d\mu\right] = \frac{f(t)}{-jt}$$

4.5 傅里叶变换的基本性质

8. 帕斯瓦尔定理 (又称能量守恒定理)

$$\int_{-\infty}^{\infty} |f(t)|^2 dt = \frac{1}{2\pi} \int_{-\infty}^{\infty} |F(j\Omega)|^2 d\Omega \quad (4.5-46)$$

例：信号 $x(t)$ 如图所示，其傅里叶变换为 $X(j\Omega)$ ，求



(1) $X(0)$ (2) $\int_{-\infty}^{\infty} X(j\Omega) d\Omega$

(3) $\int_{-\infty}^{\infty} |X(j\Omega)|^2 d\Omega$ (4) $\varphi(\Omega)$

解： (1) $X(0) = \int_{-\infty}^{\infty} x(t) e^{-j\Omega t} dt \big|_{\Omega=0} = \int_{-\infty}^{\infty} x(t) dt = 8$

(2) $\because \int_{-\infty}^{\infty} X(j\Omega) e^{j\Omega t} d\Omega = 2\pi x(t)$

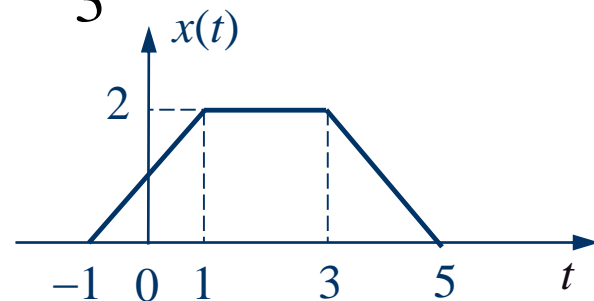
$\therefore \int_{-\infty}^{\infty} X(j\Omega) d\Omega = 2\pi x(t) \big|_{t=0} = 2\pi$

4.5 傅里叶变换的基本性质

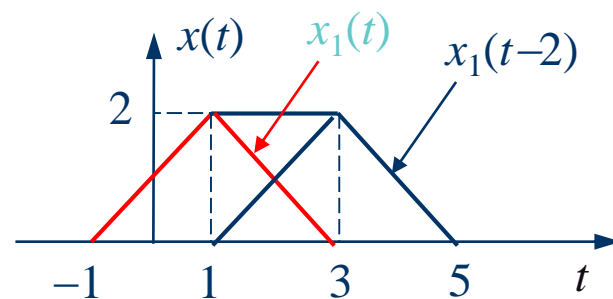
$$(3) \int_{-\infty}^{\infty} |X(j\Omega)|^2 d\Omega = 2\pi [2 \int_0^2 t^2 dt + 2^2 \cdot 2] = \frac{80\pi}{3}$$

$$(4) \varphi(\Omega) = -2\Omega$$

记信号 $x_1(t)$ 如图所示，则



$$x(t) = x_1(t) + x_1(t-2) \quad (\text{查表4-2})$$

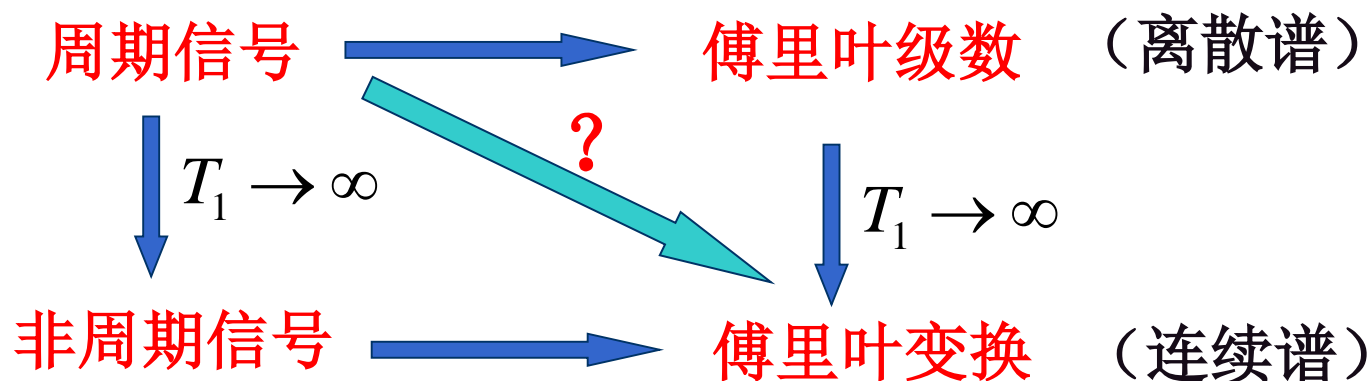


$$X_1(j\Omega) = \frac{2 \times 4}{2} \text{Sa}^2\left(\frac{\Omega \times 4}{4}\right) e^{-j\Omega} = 4\text{Sa}^2(\Omega) e^{-j\Omega}$$

$$X(j\Omega) = X_1(j\Omega) + X_1(j\Omega)e^{-j2\Omega} = 4\text{Sa}^2(\Omega) e^{-j\Omega} (1 + e^{-j2\Omega})$$

$$= 4\text{Sa}^2(\Omega) e^{-j\Omega} e^{-j\Omega} (e^{j\Omega} + e^{-j\Omega}) = 8\text{Sa}^2(\Omega) \cos \Omega e^{-j2\Omega}$$

4.6 周期信号的傅里叶变换



1. 正弦、余弦信号的傅里叶变换

在例4.5-7中, 已经求出了指数信号、正弦和余弦信号的傅里叶变换。即

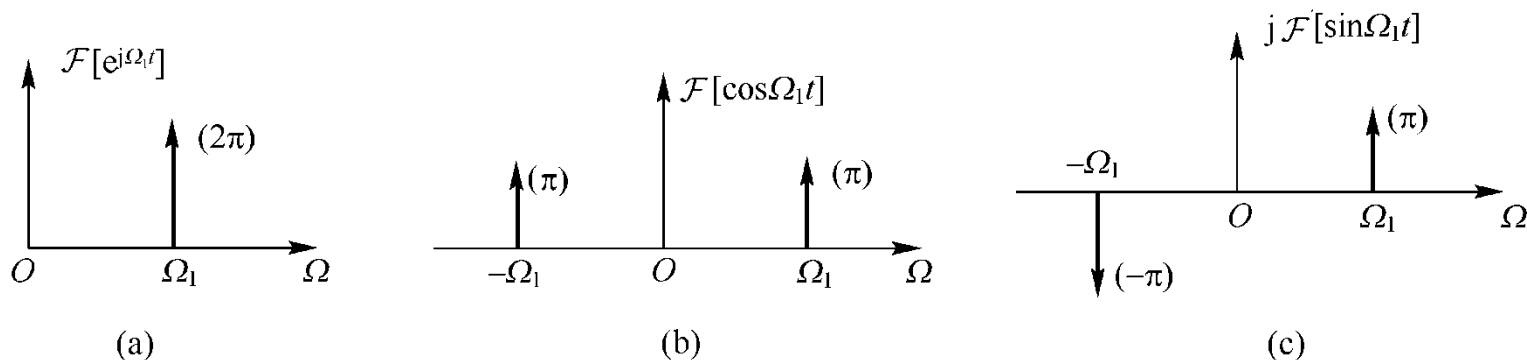
$$\mathcal{F}[e^{j\Omega_0 t}] = 2\pi\delta(\Omega - \Omega_0)$$

$$\mathcal{F}[\cos \Omega_0 t] = \pi[\delta(\Omega + \Omega_0) + \delta(\Omega - \Omega_0)]$$

$$\mathcal{F}[\sin \Omega_0 t] = j\pi[\delta(\Omega + \Omega_0) - \delta(\Omega - \Omega_0)]$$

4.6 周期信号的傅里叶变换

以上三种信号的频谱图如下所示



2. 一般周期信号的傅里叶变换

设周期信号的周期为 $\tilde{f}(t)$ ，则角频率 $\Omega_1 = 2\pi f_1 = 2\pi/T_1$ ，
可以将 $\tilde{f}(t)$ 展开成指数形式的傅里叶级数

$$\tilde{f}(t) = \sum_{n=-\infty}^{\infty} F_n e^{jn\Omega_1 t}$$

其中 $F_n = \frac{1}{T_1} \int_{-T_1/2}^{T_1/2} \tilde{f}(t) e^{-jn\Omega_1 t} dt$ 或 $F_n = \frac{1}{T_1} F_0(j\Omega)|_{\Omega=n\Omega_1}$

4.6 周期信号的傅里叶变换

$$\tilde{f}(t) = \sum_{n=-\infty}^{\infty} F_n e^{jn\Omega_1 t}$$

将上式两边取傅里叶变换

$$\begin{aligned}\mathcal{F}[\tilde{f}(t)] &= \mathcal{F}\left[\sum_{n=-\infty}^{\infty} F_n e^{jn\Omega_1 t}\right] = \sum_{n=-\infty}^{\infty} F_n \mathcal{F}[e^{jn\Omega_1 t}] \\ &= 2\pi \sum_{n=-\infty}^{\infty} F_n \delta(\Omega - n\Omega_1)\end{aligned}$$

$$\text{即: } F(j\Omega) = \mathcal{F}[\tilde{f}(t)] = 2\pi \sum_{n=-\infty}^{\infty} F_n \delta(\Omega - n\Omega_1) \quad (4.6-5)$$

周期信号 $\tilde{f}(t)$ 的傅里叶变换是由一系列冲激函数所组成, 这些冲激位于信号的谐频 $(0, \pm\Omega_1, \pm2\Omega_1, \dots)$ 处, 每个冲激的强度等于 $\tilde{f}(t)$ 的傅里叶级数相应系数 F_n 的 2π 倍。

4.6 周期信号的傅里叶变换

例4.6-1 求周期单位冲激序列 $\delta_T(t)$ 的傅里叶级数与傅里叶变换。

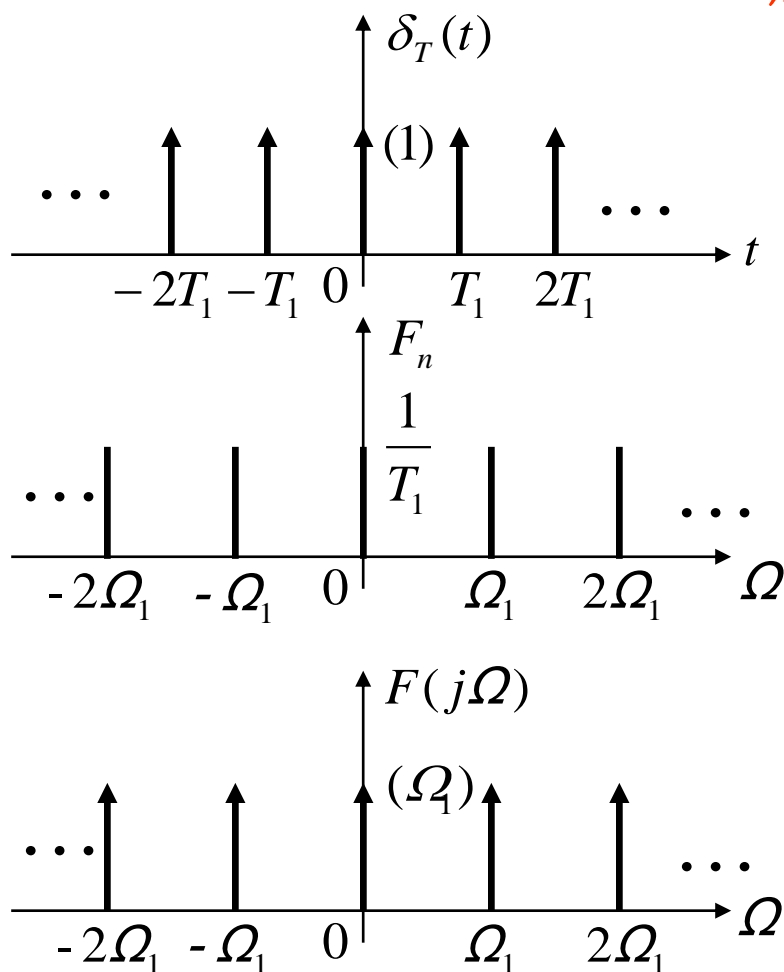
解：
$$\delta_T(t) = \sum_{n=-\infty}^{\infty} \delta(t - nT_1)$$

$$F_n = \frac{1}{T_1} \int_{-T_1/2}^{T_1/2} \delta(t) e^{-jn\Omega_1 t} dt = \frac{1}{T_1}$$

$$\delta_T(t) = \frac{1}{T_1} \sum_{n=-\infty}^{\infty} e^{jn\Omega_1 t}$$

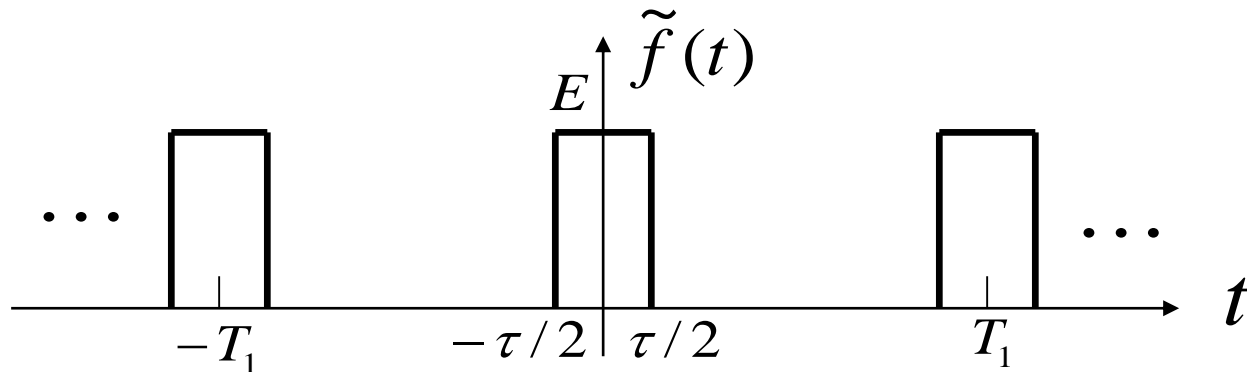
$$F(j\Omega) = 2\pi \sum_{n=-\infty}^{\infty} F_n \delta(\Omega - n\Omega_1)$$

$$= \Omega_1 \sum_{n=-\infty}^{\infty} \delta(\Omega - n\Omega_1)$$



4.6 周期信号的傅里叶变换

例4.6-2 求周期矩形脉冲信号的傅里叶级数和傅里叶变换。已知 $\tilde{f}(t)$ 的幅度为 E ，脉宽为 τ ，周期为 T_1 ，角频率为 $\Omega_1 = 2\pi/T_1$ 。



解：已知矩形脉冲 $f_0(t)$ 的傅里叶变换为 $F_0(j\Omega)$

$$F_0(j\Omega) = E\tau \text{Sa}\left(\frac{\Omega\tau}{2}\right)$$

因为

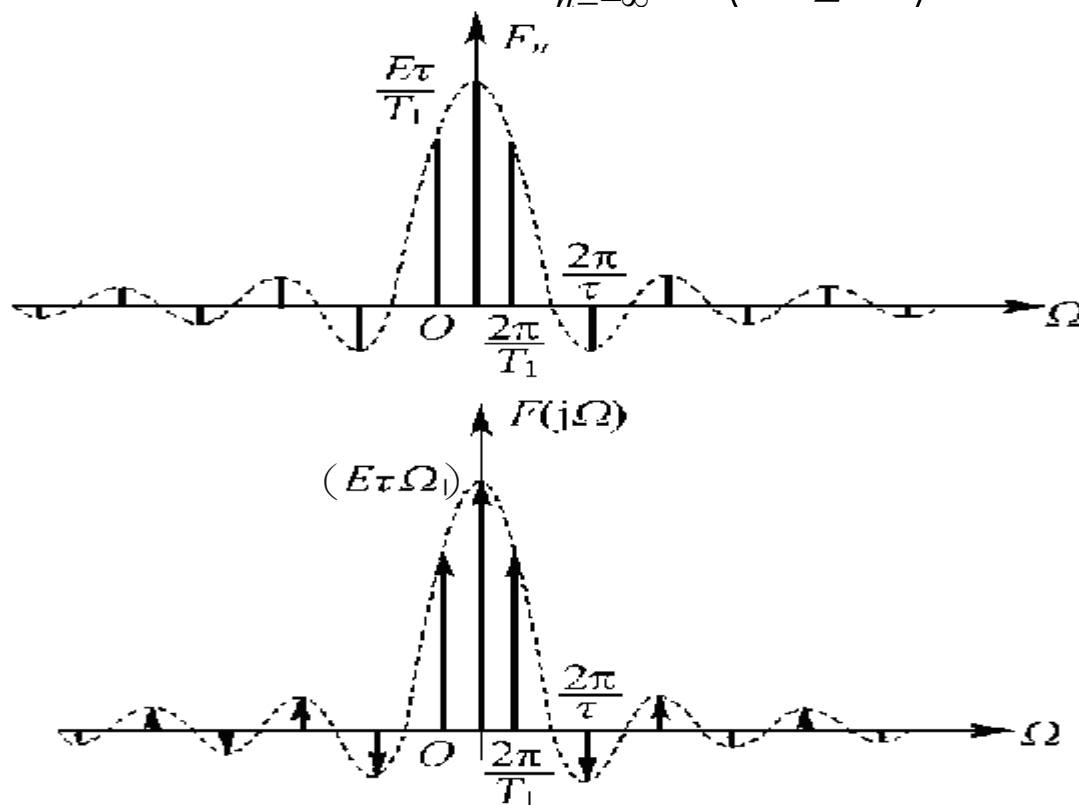
$$F_n = \frac{1}{T_1} F_0(j\Omega) \Big|_{\Omega=n\Omega_1} = \frac{E\tau}{T_1} \text{Sa}\left(\frac{n\Omega_1\tau}{2}\right)$$

4.6 周期信号的傅里叶变换

所以
$$\tilde{f}(t) = \sum_{n=-\infty}^{\infty} F_n e^{jn\Omega_1 t} = \frac{E\tau}{T_1} \sum_{n=-\infty}^{\infty} \text{Sa}\left(\frac{n\Omega_1\tau}{2}\right) e^{jn\Omega_1 t}$$

$$F(j\Omega) = 2\pi \sum_{n=-\infty}^{\infty} F_n \delta(\Omega - n\Omega_1) = E\tau\Omega_1 \sum_{n=-\infty}^{\infty} \text{Sa}\left(\frac{n\Omega_1\tau}{2}\right) \delta(\Omega - n\Omega_1)$$

设: $\frac{\tau}{T_1} = \frac{1}{2}$



4.7 连续信号的频域与复频域的MATLAB分析

连续信号的频域和复频域表达式可以通过符号运算获得。其频谱的可视化可以用幅度谱和相位谱绘制。周期信号可以通过计算其傅里叶级数，画出它的幅度谱和相位谱；非周期性信号可以通过计算其傅里叶变换，画出它的幅度谱和相位谱。信号的复频域分析一般缺少可视化的直观表示，但可以用信号的拉普拉斯变换，绘制它的三维幅度曲面图和相位曲面图，来观察其复频域特征。

Stem ()

Plot()

Ezplot()

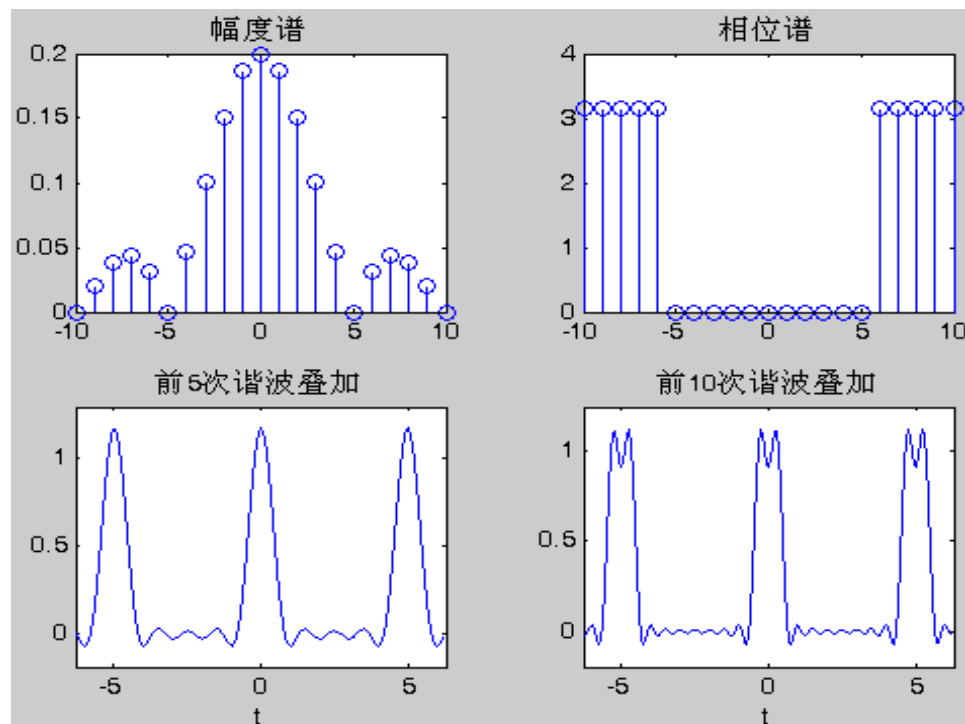
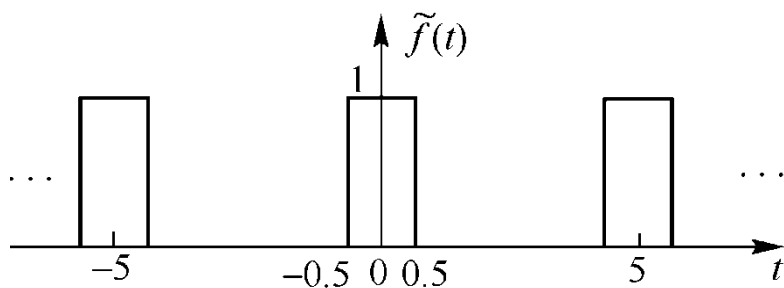
laplace()

Ilaplace()

4.7 连续信号的频域与复频域的MATLAB分析

例4.7-1

周期性矩形脉冲信号如题图所示，画出它的幅度谱和相位谱，以及前5次谐波叠加波形和前10次谐波叠加波形。



4.7 连续信号的频域与复频域的MATLAB分析

解:

```
n=-10:10; w1=0.4*pi; %显示的谐波次数
n1=-10:-1;ft1=sin(0.2*pi*n1)./(pi*n1); %计算负半轴的傅里叶级数
n2=1:10;ft2=sin(0.2*pi*n2)./(pi*n2); %计算正半轴的傅里叶级数
ft=[ft1,0.2,ft2]; %组合负半轴、零点和正半轴的级数

fn = abs(ft);phase = angle(ft); %计算幅度谱和相位谱
subplot(2,2,1);stem(n,fn);title('幅度谱'); %stem函数绘制离散序列
subplot(2,2,2);stem(n,phase);title('相位谱');
syms t;s1=0.2;s2=0.2; %直流分量
for k1=1:5
s1=s1+2*sin(k1*pi/5)*cos(w1*t*k1)/pi./k1;
end
for k2=1:10
s2=s2+2*sin(k2*pi/5)*cos(w1*t*k2)/pi./k2;
end
subplot(2,2,3);ezplot(s1);title('前5次谐波叠加');
subplot(2,2,4);ezplot(s2);title('前10次谐波叠加');
```

4.7 连续信号的频域与复频域的MATLAB分析

例4.7-2 用MATLAB分别绘制抽样信号 $f_1(t) = \text{Sa}(t)$

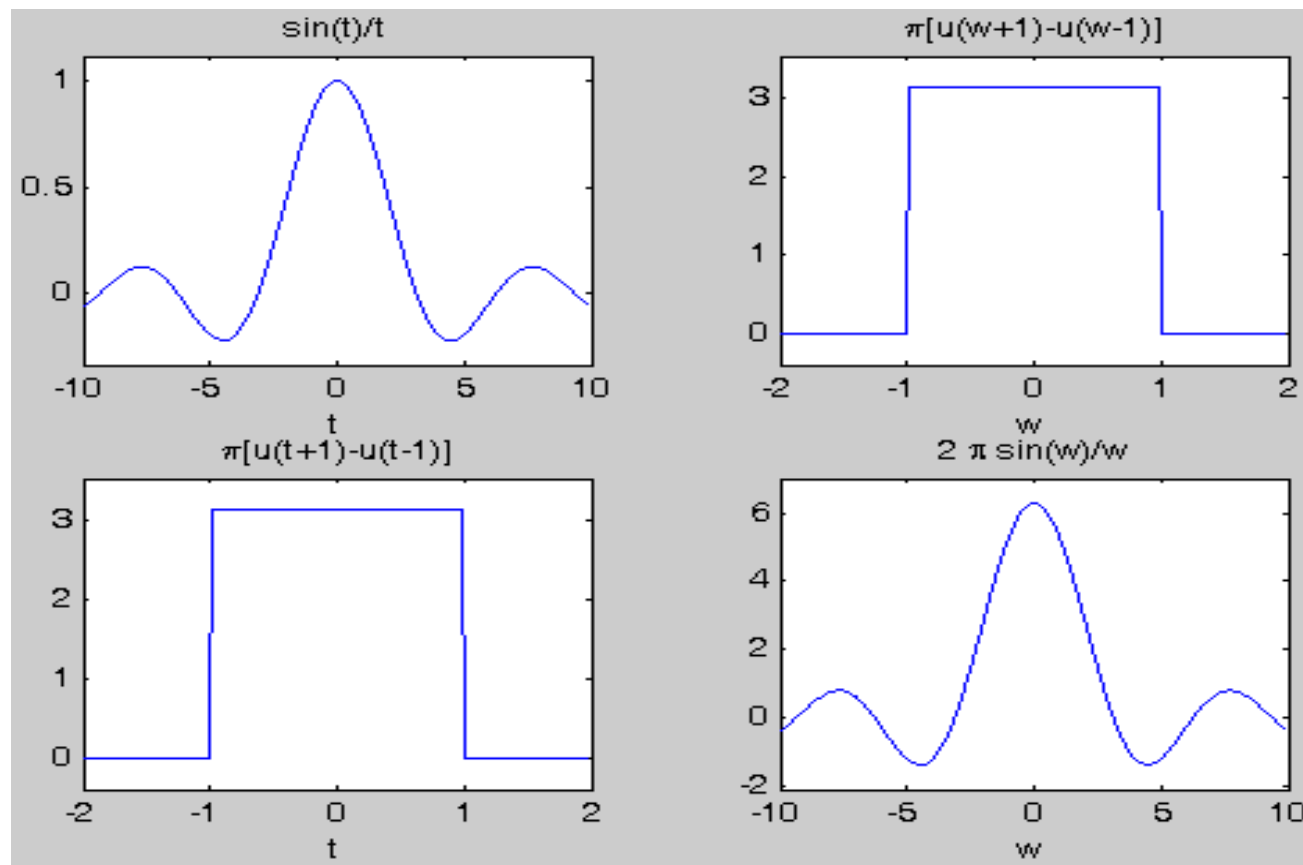
和矩形脉冲信号 $f_2(t) = \pi[u(t+1) - u(t-1)]$

的时域波形和频谱，并验证傅里叶变换的对偶性。

解：

```
syms t; f1 = sin(t)/t; % 抽样函数 f1(t)=Sa(t)
f2 = pi*sym('(Heaviside(t+1) -Heaviside(t-1))'); % 计算门函数 f2(t)=p G(t)
F1=simple(fourier(f1)); F2=simple(fourier(f2));
subplot(221); ezplot(f1, [-10 10]);
subplot(222); ezplot(F1, [-2 2]); title('π[u(w+1) -u(w-1)]');
subplot(223); ezplot(f2, [-2 2]); title('π[u(t+1) -u(t-1)]');
subplot(224); ezplot(F2, [-10 10]);
```

4.7 连续信号的频域与复频域的MATLAB分析



本章小结

连续时间信号的频谱分析

周期信号：傅里叶级数与傅里叶变换

典型周期信号的傅里叶级数

非周期信号：傅里叶变换

常用非周期信号的频谱

傅里叶变换的相关性质